

La prevenzione del rischio sismico in Piemonte

Pinerolo, 22 marzo 2013



La caratterizzazione del sottosuolo

le indicazioni delle NTC e la buona pratica esecutiva



POLITECNICO DI TORINO

Prof. Ing. Sebastiano Foti

Email: <u>sebastiano.foti@polito.it</u> www.soilmech.polito.it/people/foti_sebastiano

Sommario

- Valutazione dell'azione sismica:
 - pericolosità sismica nazionale
 - risposta sismica locale
 - Categorie di sottosuolo
 - Prove sismiche
 - CHT DHT
 - Onde superficiali (SASW, MASW, ReMi, Passive arrays, ...)
- Idoneità del sito di costruzione
 - Stabilità dei pendii
 - Interferenza con rotture di faglia in superficie
 - Liquefazione

Pericolosità sismica italiana INGV → NTC 2008

CAMBIO DI PARADIGMA

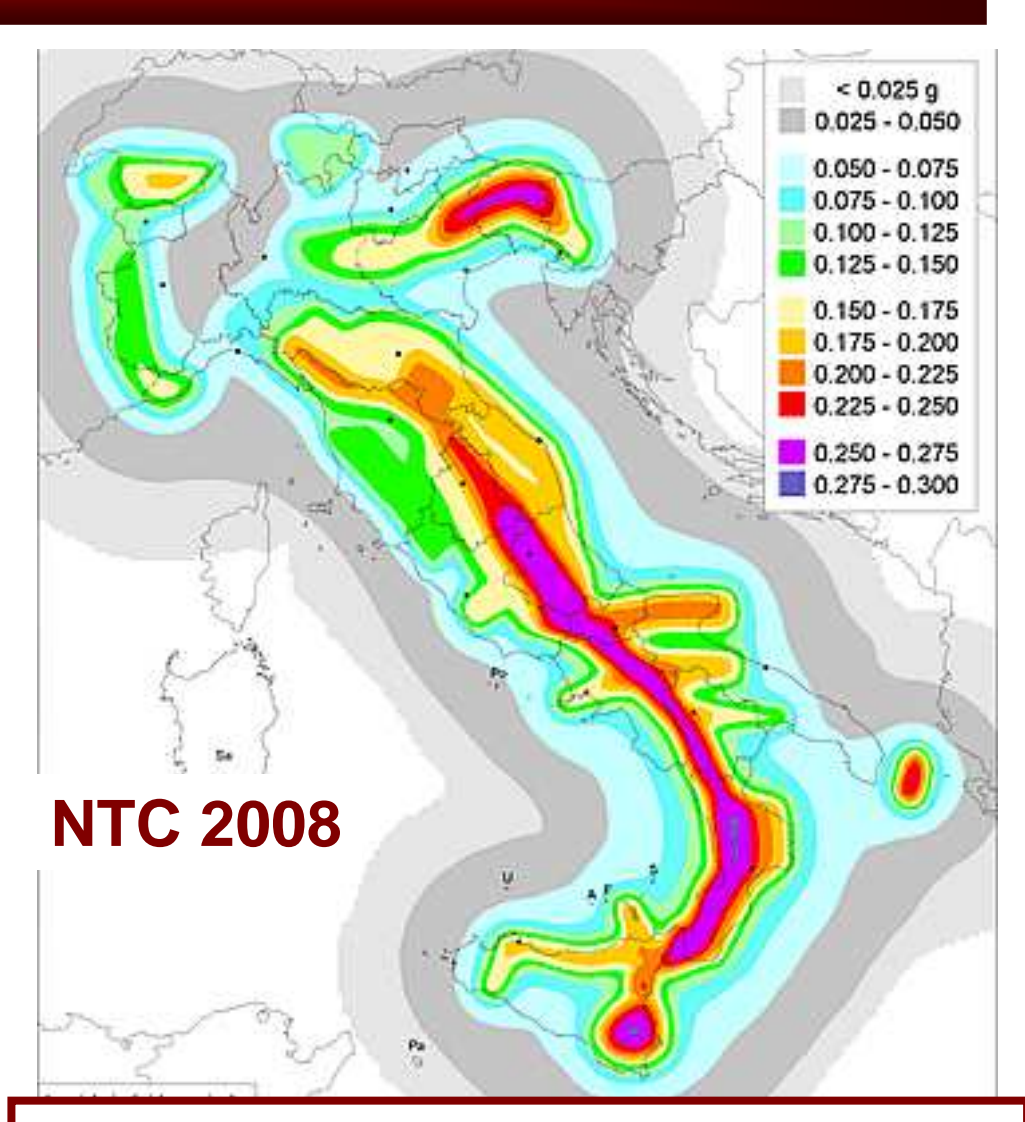
Definizione dei valori di pericolosità su maglia geografica (0.05°)

La pericolosità è definita in funzione del periodo di ritorno

Assegnati un periodo di riferimento e una probabilità di superamento si ottiene l'azione di progetto

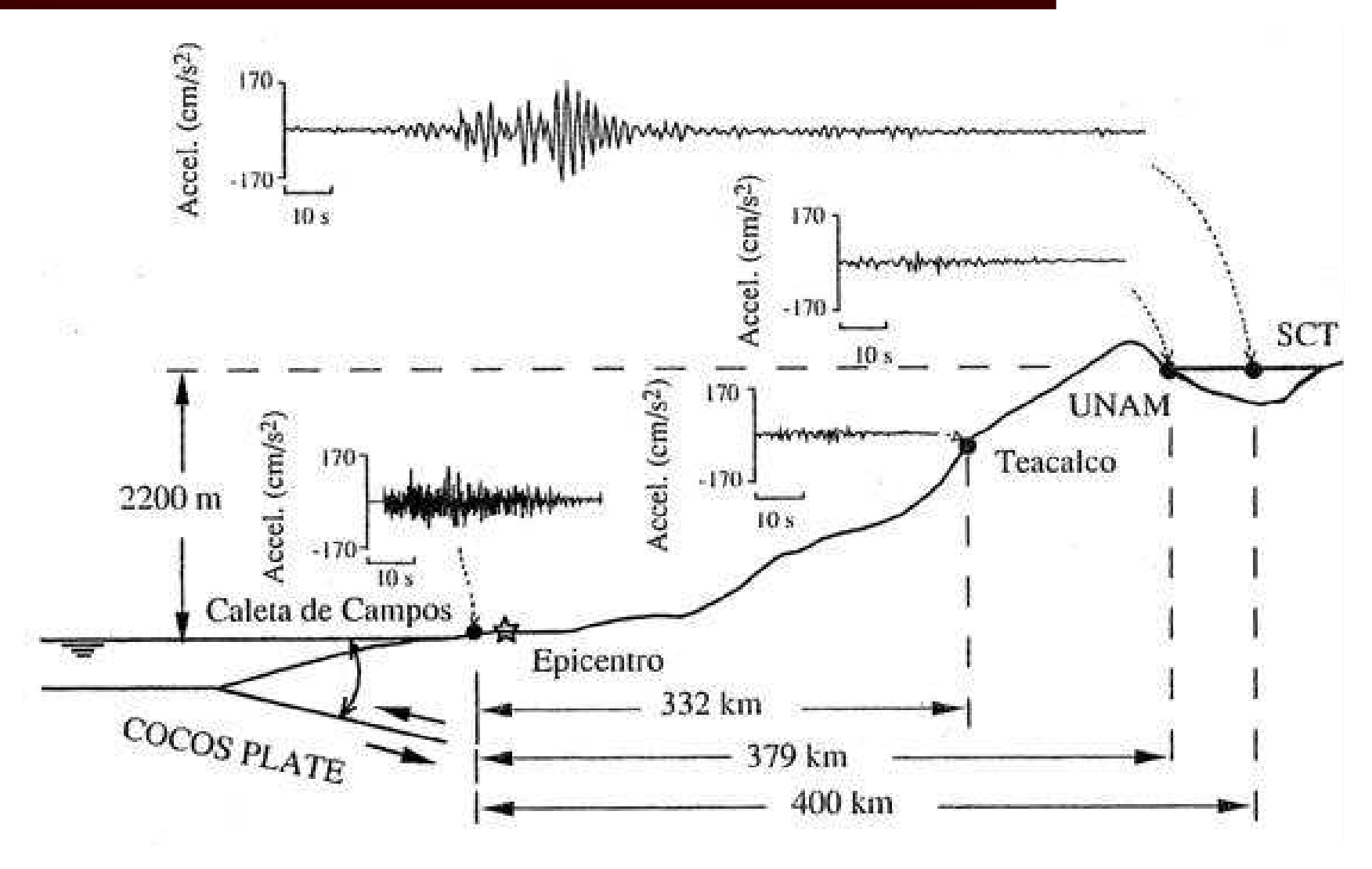
Stati Limite		$P_{V_{R}}$
Stati limite di	SLO	81%
esercizio	SLD	63%
Stati limite ultimi	SLV	10%
	SLC	5%

Esempio: a_g probabilità superamento 10% in 50 anni (SLV strutture ordinarie) $T_R = -\frac{V_R}{\ln(1-P_{V_R})}$



sottosuolo cat. A $(V_{S,30}>800m/s)$

Città del Messico (Terremoto del 1985)

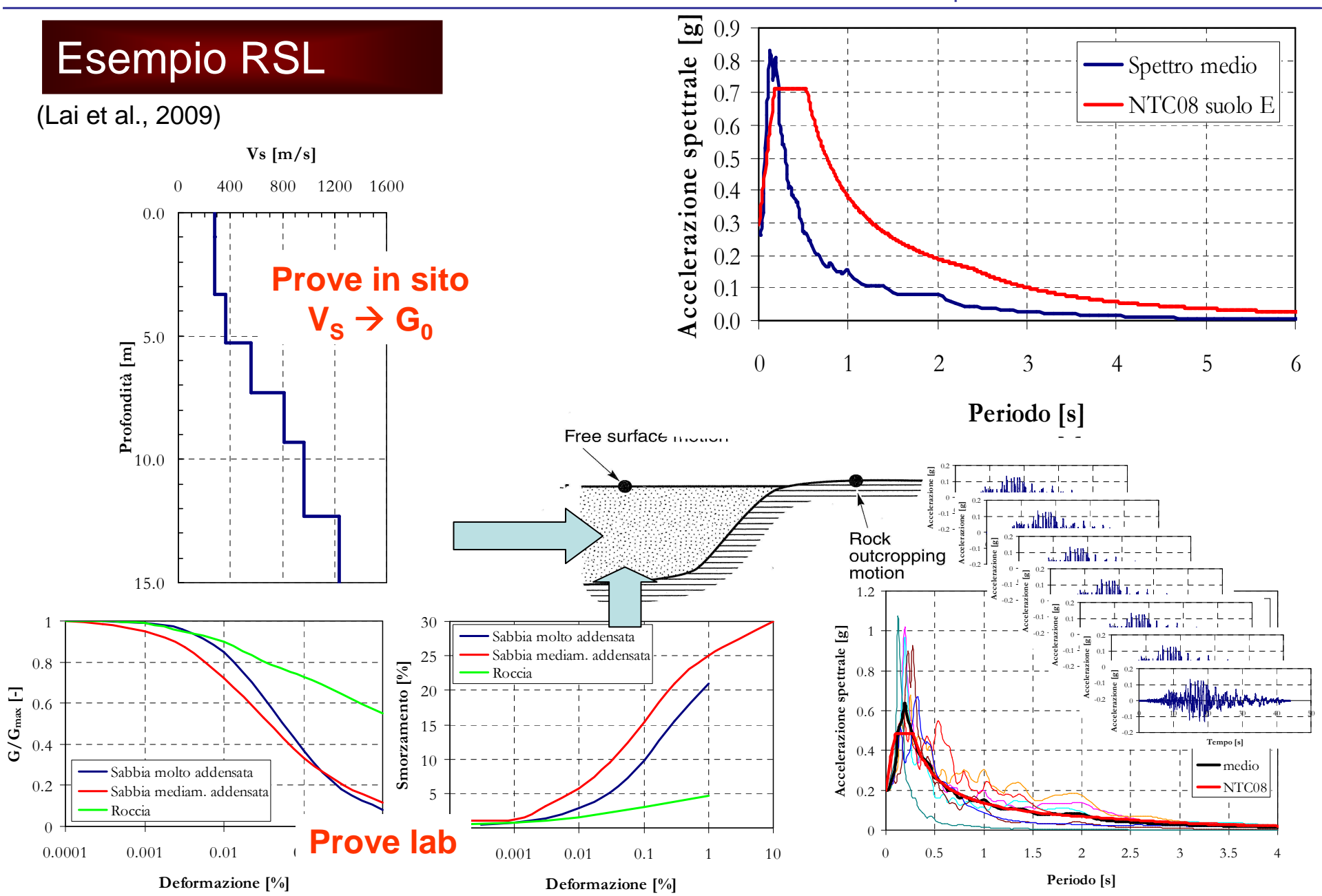


(Faccioli e Paolucci, 2005)

Studi di risposta sismica locale

NTC 2008 (3.2.2):

Ai fini della definizione dell'azione sismica di progetto, si rende necessario valutare l'effetto della risposta sismica locale <u>mediante specifiche analisi</u>, come indicato nel § 7.11.3. In assenza di tali analisi, per la definizione dell'azione sismica si può fare riferimento a un approccio semplificato, che si basa sull'individuazione di categorie di sottosuolo di riferimento (Tab. 3.2.II e 3.2.III).

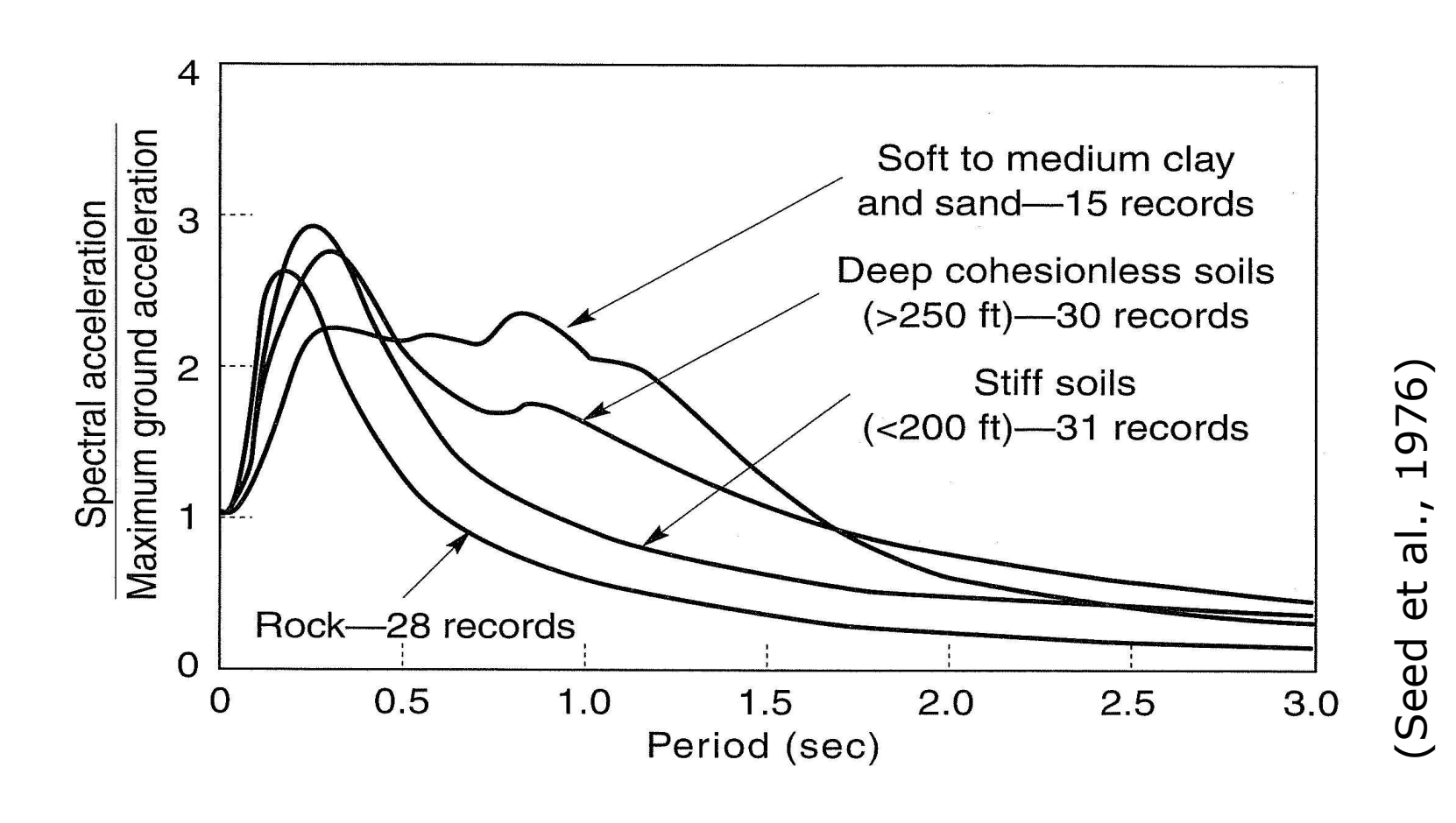


Studi di risposta sismica locale

NTC 2008 (3.2.2):

Ai fini della definizione dell'azione sismica di progetto, si rende necessario valutare l'effetto della risposta sismica locale mediante specifiche analisi, come indicato nel § 7.11.3. In assenza di tali analisi, per la definizione dell'azione sismica si può fare riferimento a un approccio semplificato, che si basa sull'individuazione di categorie di sottosuolo di riferimento (Tab. 3.2.II e 3.2.III).

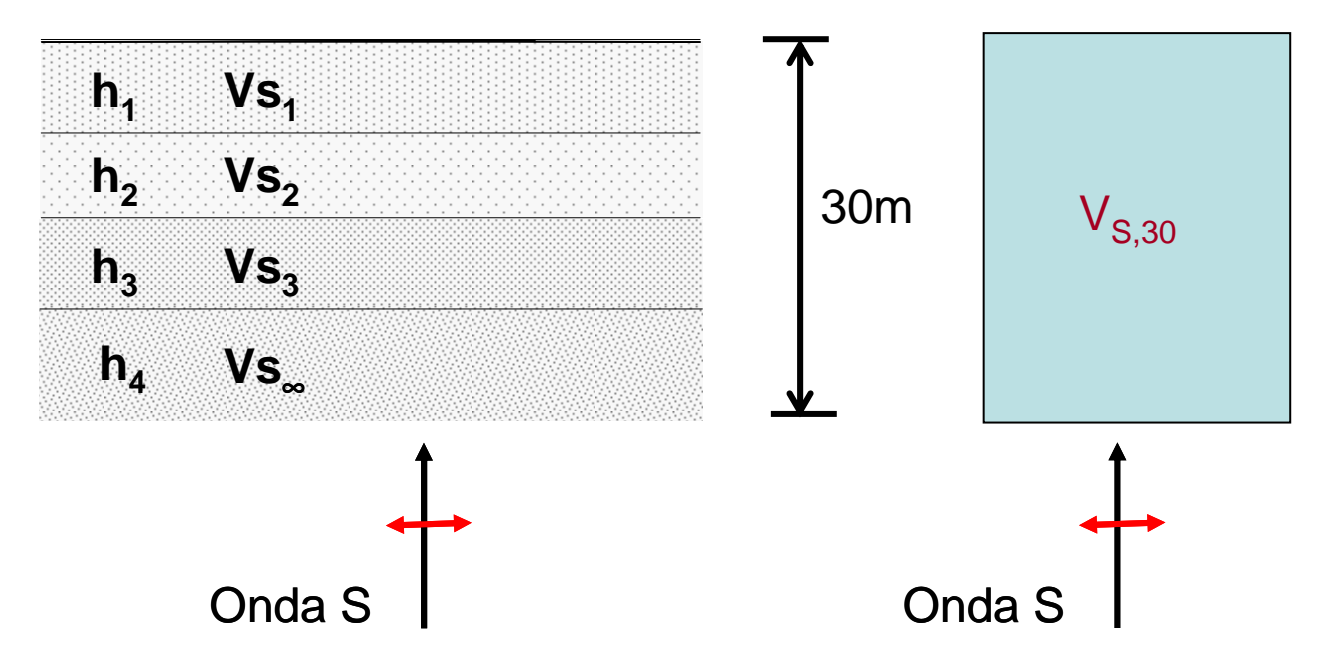
Spettri di risposta per tipologie di sottosuolo



Stima semplificata RSL: V_{S,30}

$$V_{S,30} = \frac{30}{\sum_{i=1..N} \frac{h_i}{V_{S,i}}}$$

Rappresenta la velocità media in termini di lentezza, basata sul tempo che l'onda di taglio impiega a percorrere i 30 m

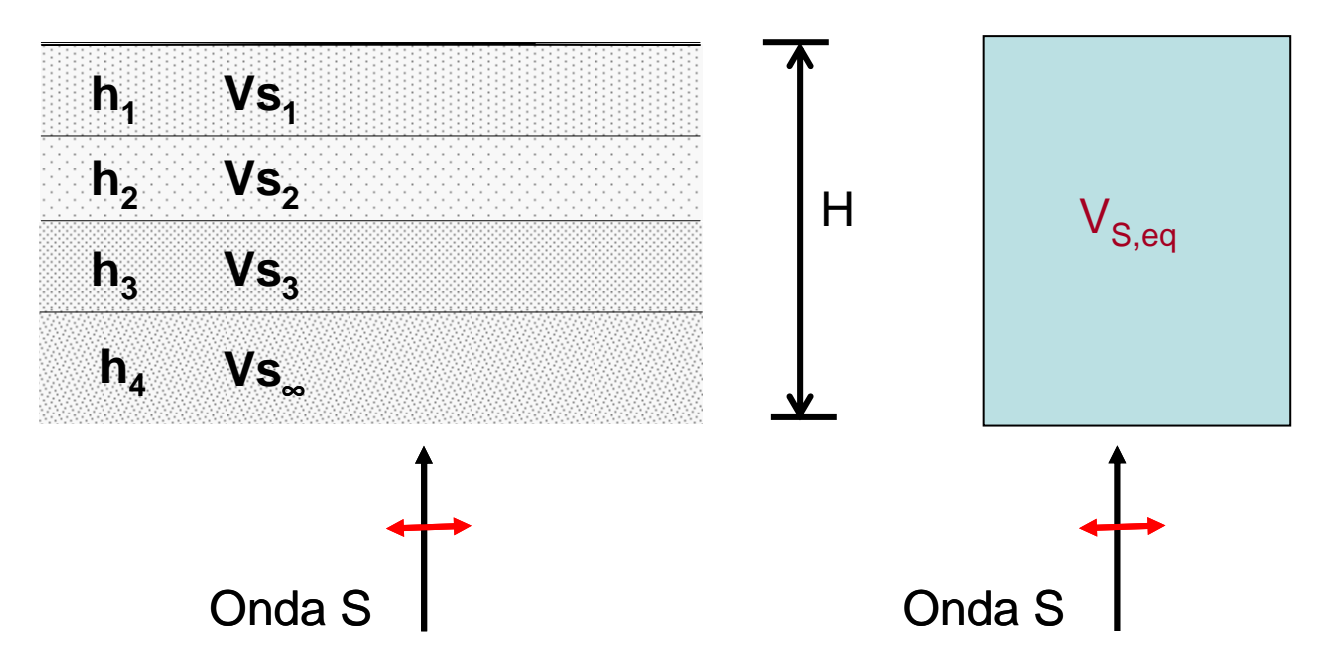


NB: 30m a partire dal piano di imposta della fondazione

Stima semplificata RSL: V_{S,eq}

$$V_{S,eq} = \frac{H}{\sum_{i=1..N} \frac{h_i}{V_{S,i}}}$$

Rappresenta la velocità media in termini di lentezza, basata sul tempo che l'onda di taglio impiega a percorrere lo strato di spessore H



NB: 30m a partire dal piano di imposta della fondazione

Categorie di sottosuolo: revisione NTC ????

Categoria	Descrizione
A	Ammassi rocciosi affioranti o terreni molto rigidi caratterizzati da valori di V _{s,30} superiori a 800 m/s, eventualmente comprendenti in superficie uno strato di alterazione, con spessore massimo pari a 3 m.
В	Rocce tenere e depositi di terreni a grana grossa molto addensati o terreni a grana fina molto consistenti con spessori superiori a 30 m, caratterizzati da un graduale miglioramento delle proprietà meccaniche con la profondità e da valori di $V_{s,30}$ compresi tra 360 m/s e 800 m/s (ovvero $N_{SPT,30} > 50$ nei terreni a grana grossa e $c_{u,30} > 250$ kPa nei terreni a grana fina).
C	Depositi di terreni a grana grossa mediamente addensati o terreni a grana fina mediamente consistenti con spessori superiori a 30 m, caratterizzati da un graduale miglioramento delle proprietà meccaniche con la profondità e da valori di $V_{s,30}$ compresi tra 180 m/s e 360 m/s (ovvero $15 < N_{SPT,30} < 50$ nei terreni a grana grossa e $70 < c_{u,30} < 250$ kPa nei terreni a grana fina).
D	Depositi di terreni a grana grossa scarsamente addensati o di terreni a grana fina scarsamente consistenti, con spessori superiori a 30 m, caratterizzati da un graduale miglioramento delle proprietà meccaniche con la profondità e da valori di $V_{s,30}$ inferiori a 180 m/s (ovvero $N_{SPT,30} < 15$ nei terreni a grana grossa e $c_{u,30} < 70$ kPa nei terreni a grana fina).
E	Terreni dei sottosuoli di tipo C o D per spessore non superiore a 20 m , posti sul substrato di riferimento (con $V_s > 800$ m/s).

NB: le categorie di sottosuolo sono rilevanti ai soli fini della valutazione dell'azione sismica

EC8 & NTC08: categorie di sottosuolo

Categoria	V _{s,30}	N _{SPT}	c _u
A	> 800	-	-
В	360 – 800	>50	>250
С	180 - 360	15 ÷ 50	70 ÷ 250
D	< 180	< 15	< 70
E (C, D su A)			

$$V_{S,30} = \frac{30}{\sum_{i=1..N} \frac{h_i}{V_{S,i}}}$$

velocità media pesata (parità di tempo di viaggio)

Note:

Categoria E: depositi alluvionali di spessore 5-20m classificabili come sottosuolo C o D soprastanti un un substrato roccioso (bedrock) (sottosuolo A)

Categorie speciali S1 (argille tenere/limi molto plastici) e S2 (terreni soggetti a liquefazione/argille sensitive): richiedono studi specifici della risposta sismica locale

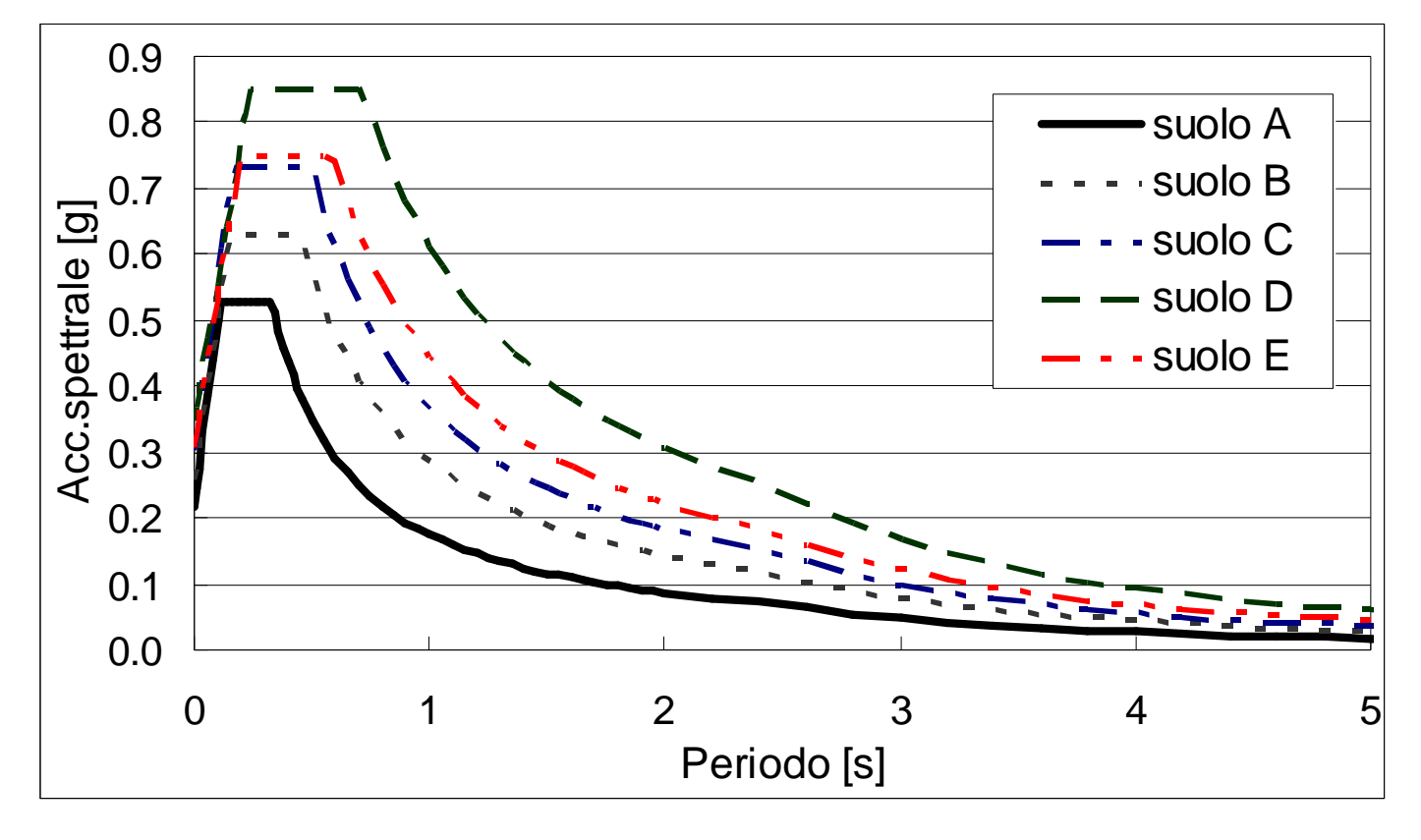
NTC 2008 (Udine)

a_g F₀ Tc*0.216 2.45 0.33

Accelerazione di picco al suolo Valore di progetto

 $S \cdot a_g$

Spettri di risposta elastici



SUOLO	S	
A	1	
В	1.19	
С	1.38	
D	1.61	
E	1.42	

Correlazioni V_S - N_{SPT}

Per Esempio:Formula di Otha e Goto (1978)

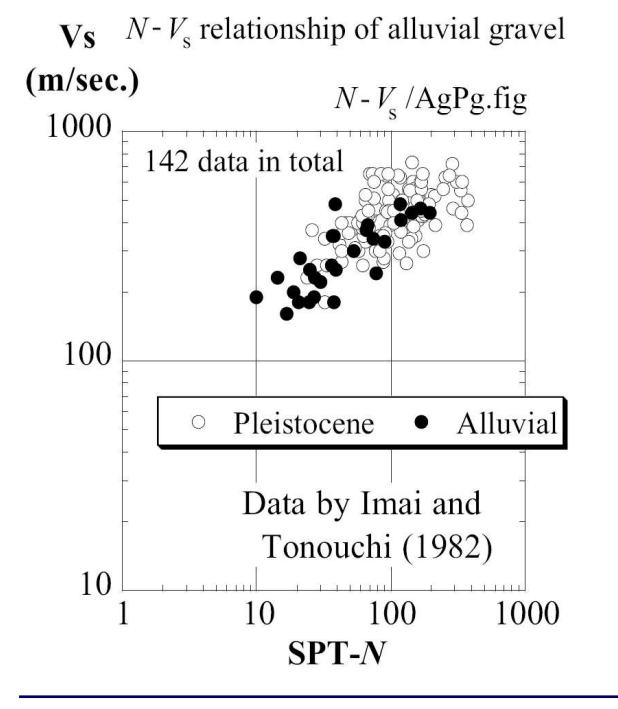
$$V_S = 69 \cdot (N_{60})^{0.17} z^{0.2} f_A f_G$$

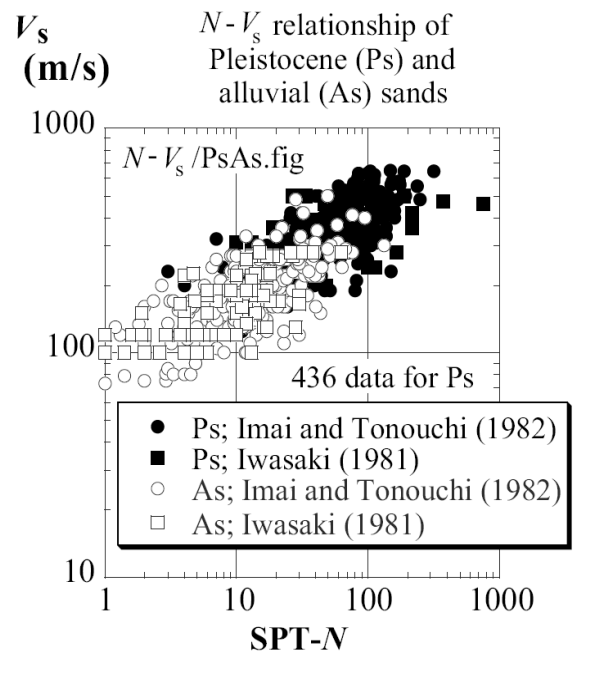
(m/s)

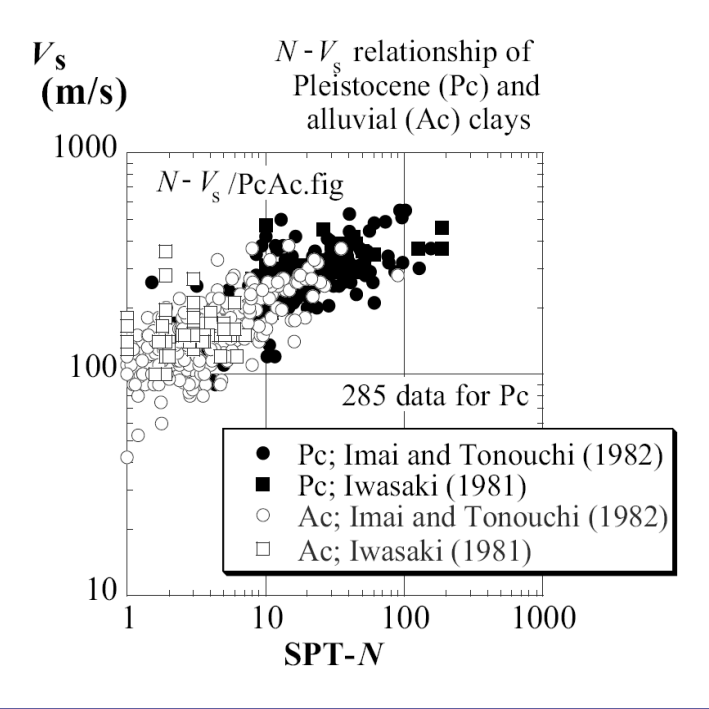
 $f_G = f(tipo di terreno)$

 $f_A = f(età del deposito)$

Attenzione alla dispersione dei dati usati per le correzioni → incertezza associata ??







Metodi Geofisici

- Metodi Invasivi
 - Prove Cross-hole
 - Prove Down-hole
 - In foro
 - SCPT-SDMT
- Metodi Non-Invasivi
 - Prove sismica a rifrazione (onde SH)
 - Analisi delle onde superficiali
 - Metodi attivi (SASW, MASW)
 - Metodi passivi (fk, SPAC, ReMi, H/V)

Down-Hole

P

geofono
tridimensionale

SH

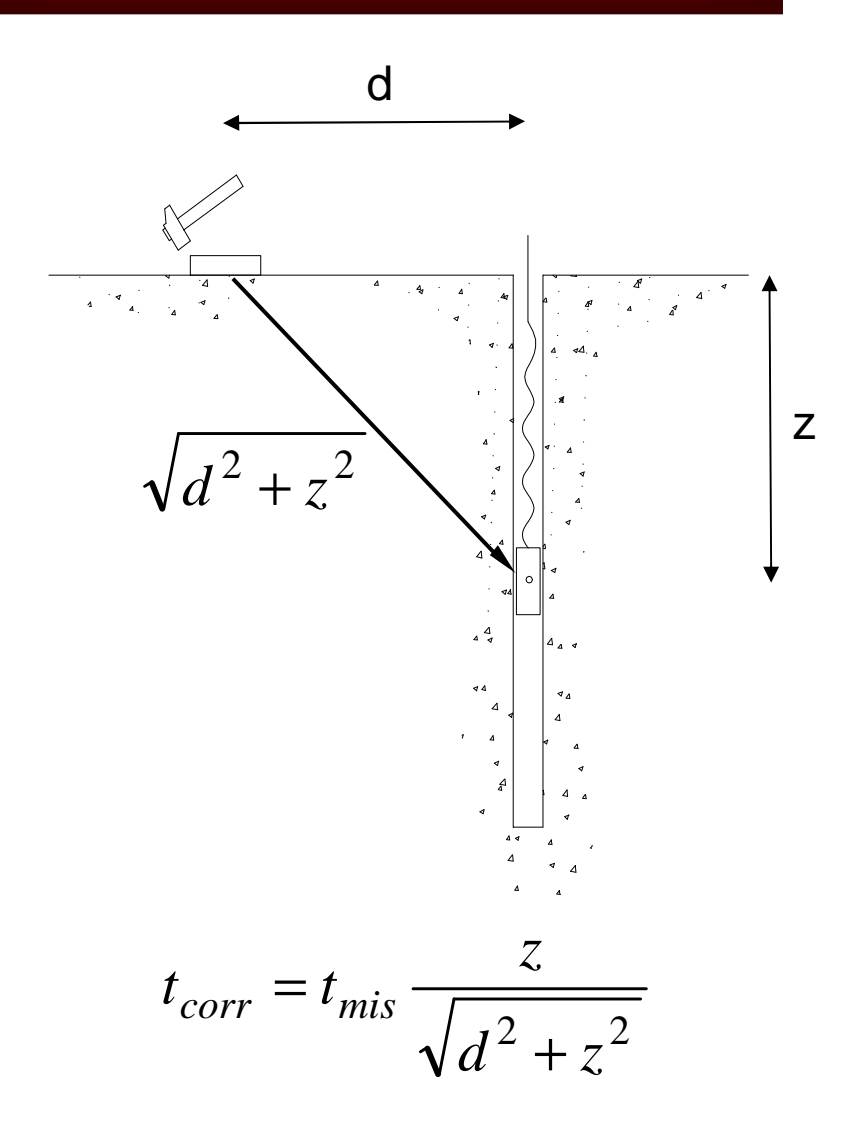
Un solo foro; minore sensibilità verticalità foro di sondaggio

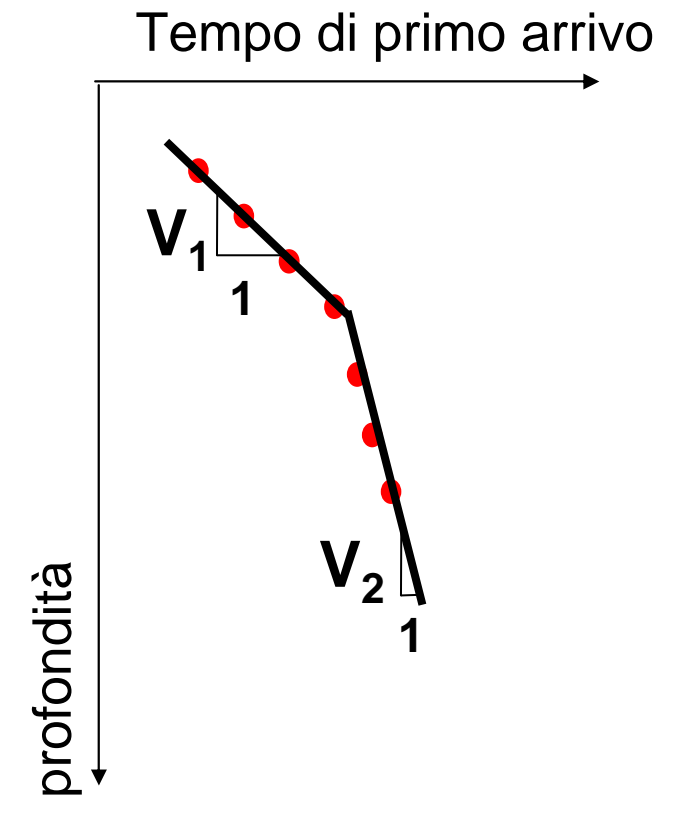
limitazione a profondità di 50-60m

Metodi di interpretazione

- Metodo tempi intercetti
- Metodo true interval
- Inversione dei tempi di primo arrivo con raggi sismici curvi

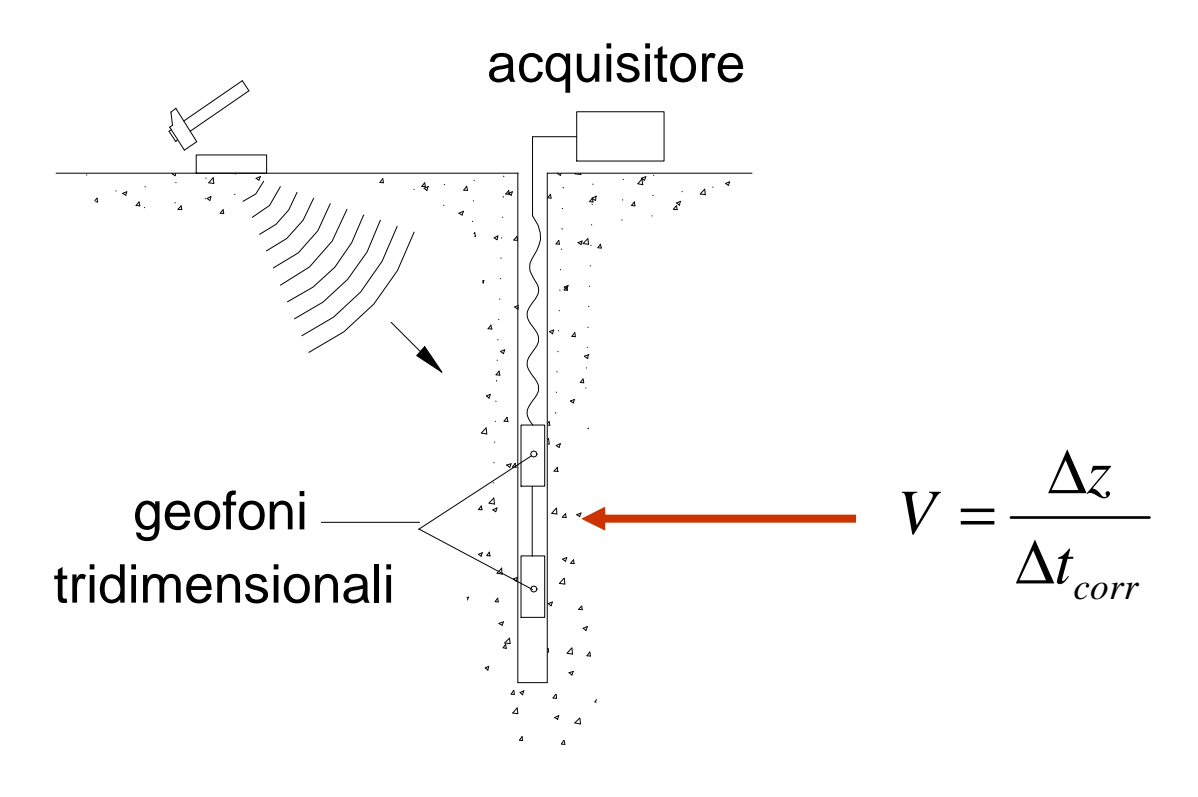
Prova Down Hole





Down Hole

Due ricevitori (true interval)

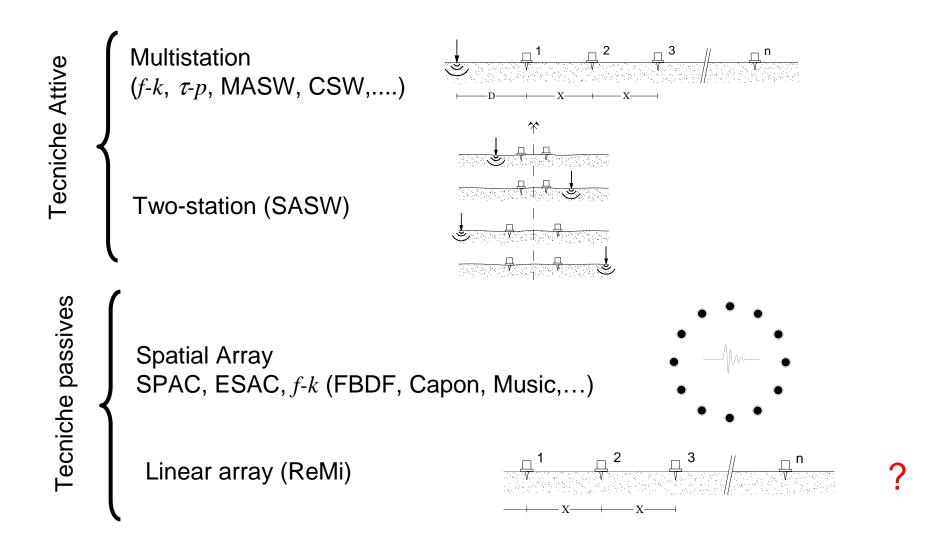


Analoga interpretazione con successive posizioni singolo geofono (pseudo-interval): fortemente sconsigliata

Metodi Geofisici

- Metodi Invasivi
 - Prove Cross-hole
 - Prove Down-hole
 - In foro
 - SCPT-SDMT
- Metodi Non-Invasivi
 - Prove sismica a rifrazione (onde SH)
 - Analisi delle onde superficiali
 - Metodi attivi (SASW, MASW)
 - Metodi passivi (fk, SPAC, ReMi, H/V)

Prove basate sulla propagazione di onde superficiali (SWM)



Prove SASW: diagramma di flusso

Acquisizione Dati

Campo di spostamenti in superficie



Analisi dei Segnali

Curva di dispersione delle onde di Rayleigh: velocità di fase vs frequenza



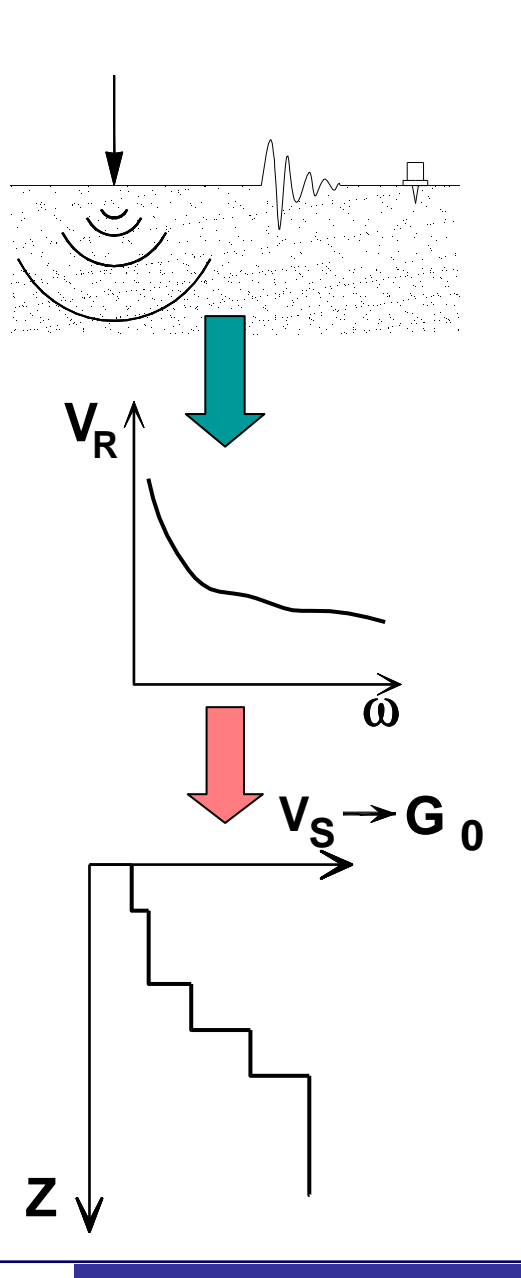
Processo di Inversione

Profilo di velocità delle onde di taglio



$$G_0 = \rho \cdot V_S^2$$

Modulo di rigidezza a taglio (G₀ vs profondità)



Prove MASW: processing Seismograph or Signal Analyzer Impulsive or harmonic source Low frequency vertical geophones n receiver offset (m) H frequency, phase velocity, m/s experimental dispersion curve experimental dispersion curve wavenumber, rad/m

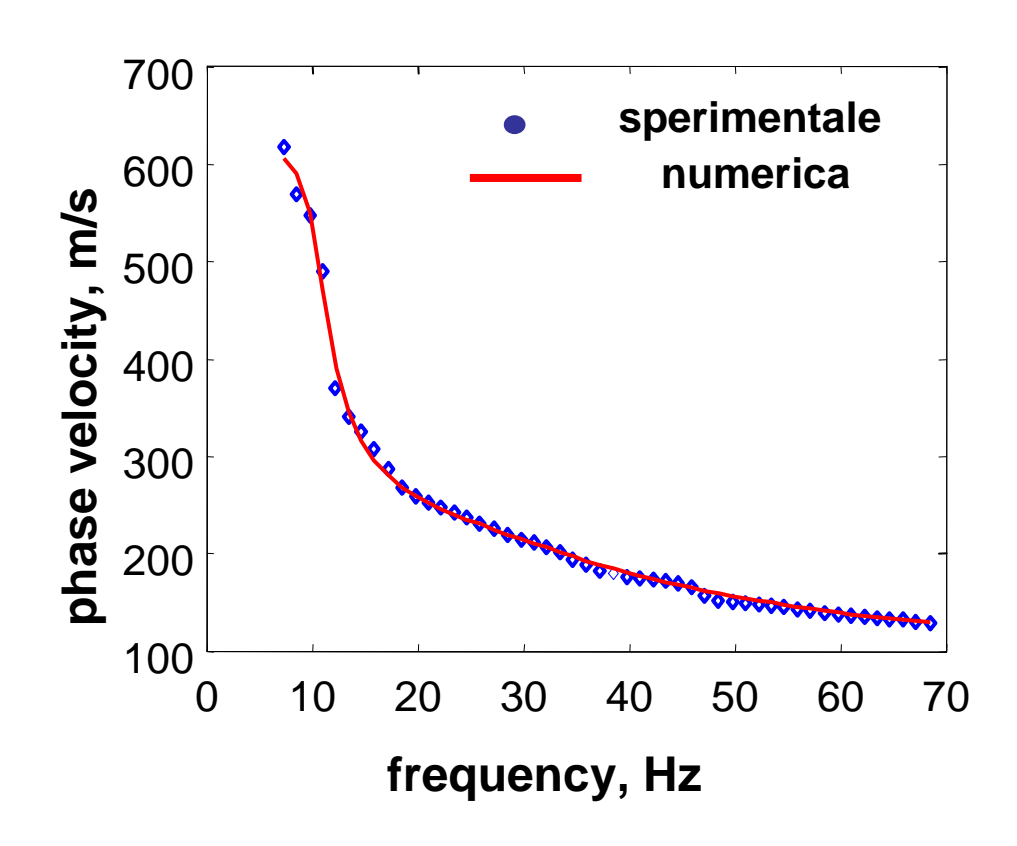
frequency, Hz

Il problema inverso

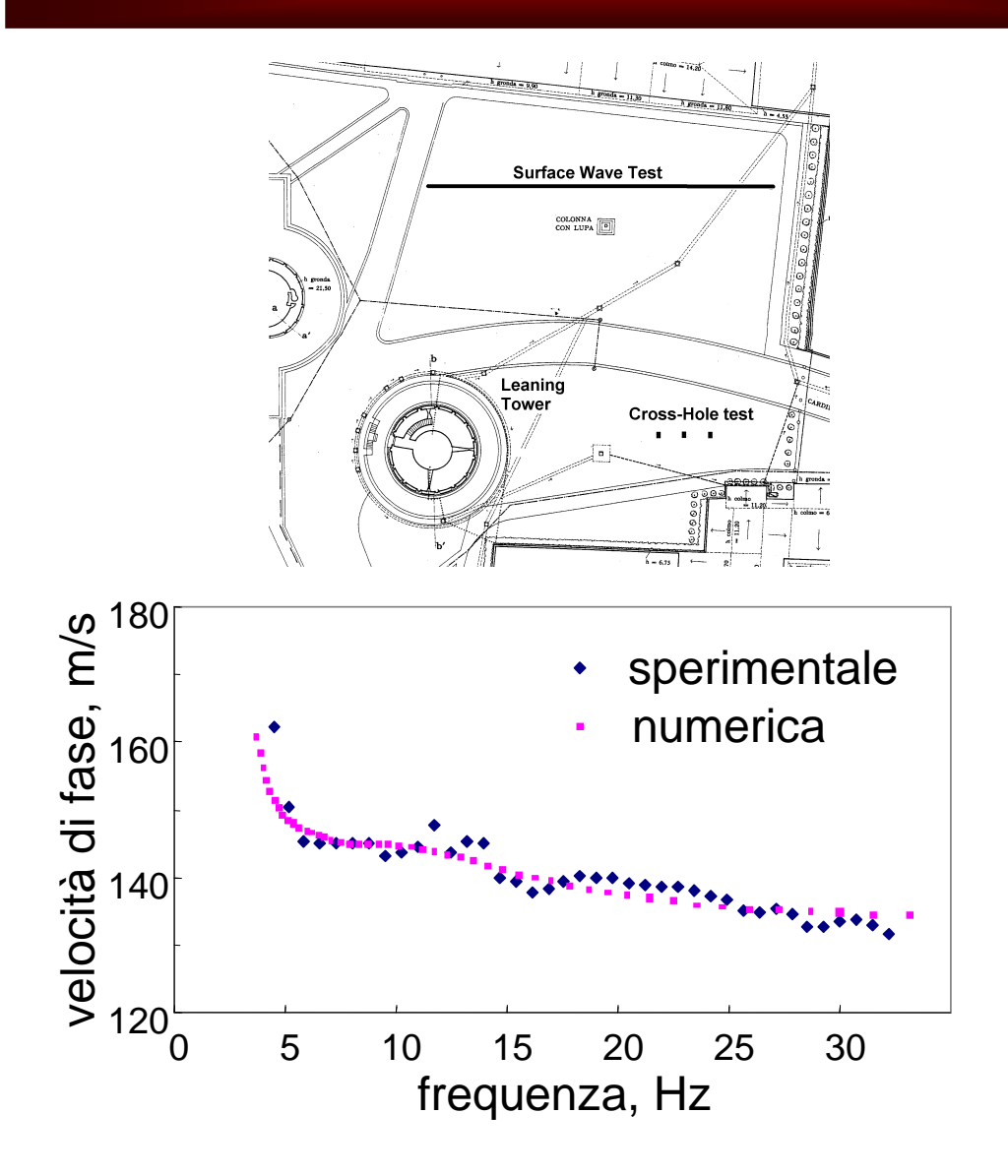
Obiettivo: trovare i parametri di modello tali da minimizzare la differenza tra curve di dispersione sperimentale e numerica

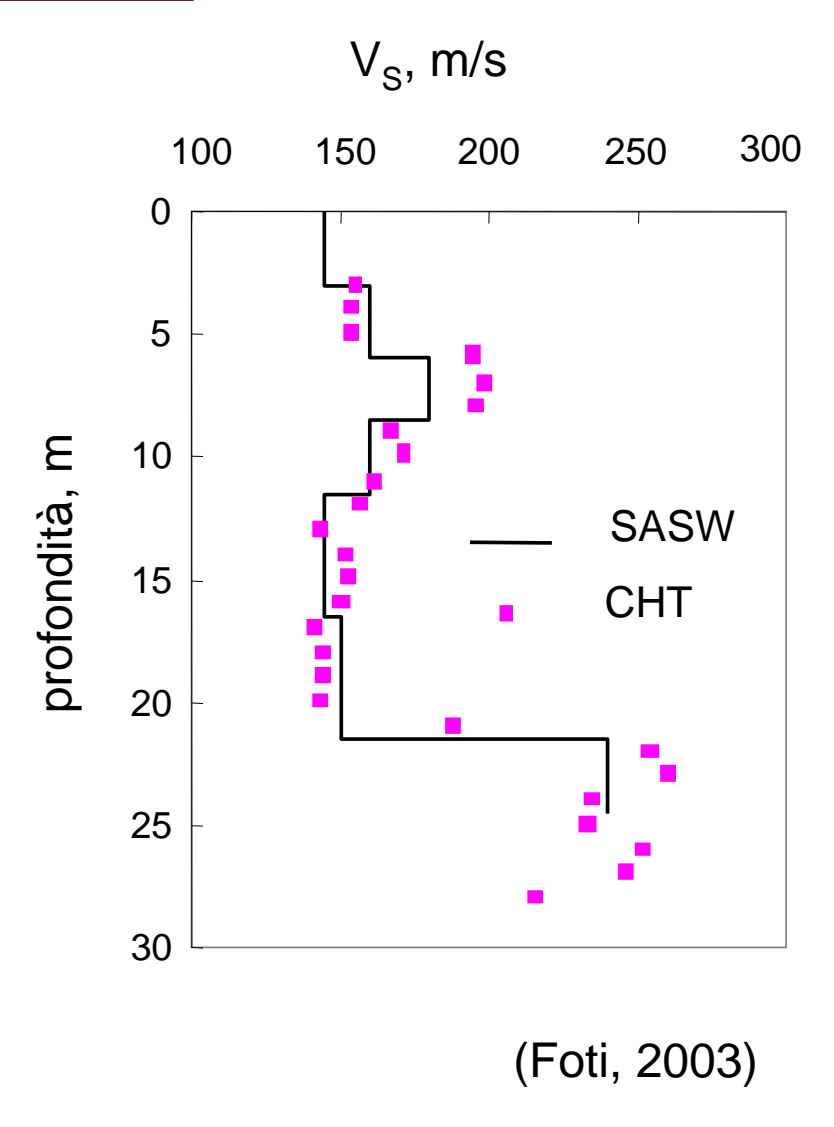
Н, -	Vs ₁ =?
H ₂ =	Vs ₂ =?
H ₃ =	Vs ₃ =?
	Vs _∞ =?

Strati piani e paralleli omogenei lineari elastici



Casi di Studio: Pisa

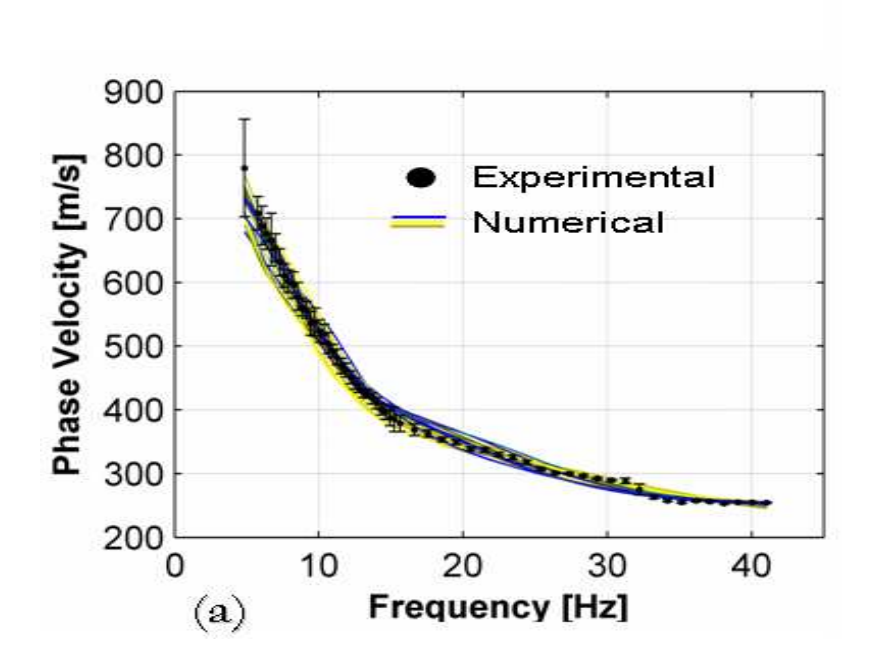




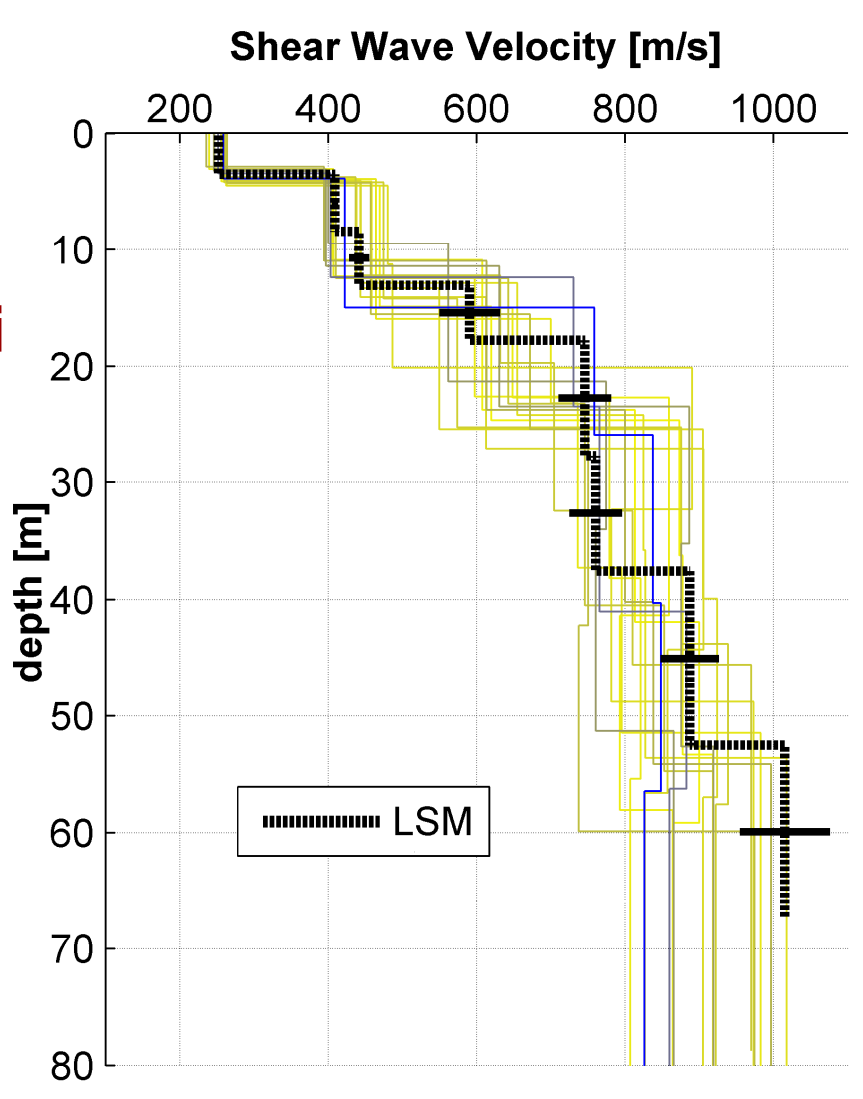
Non unicità della soluzione

Inversione con metodo Monte Carlo

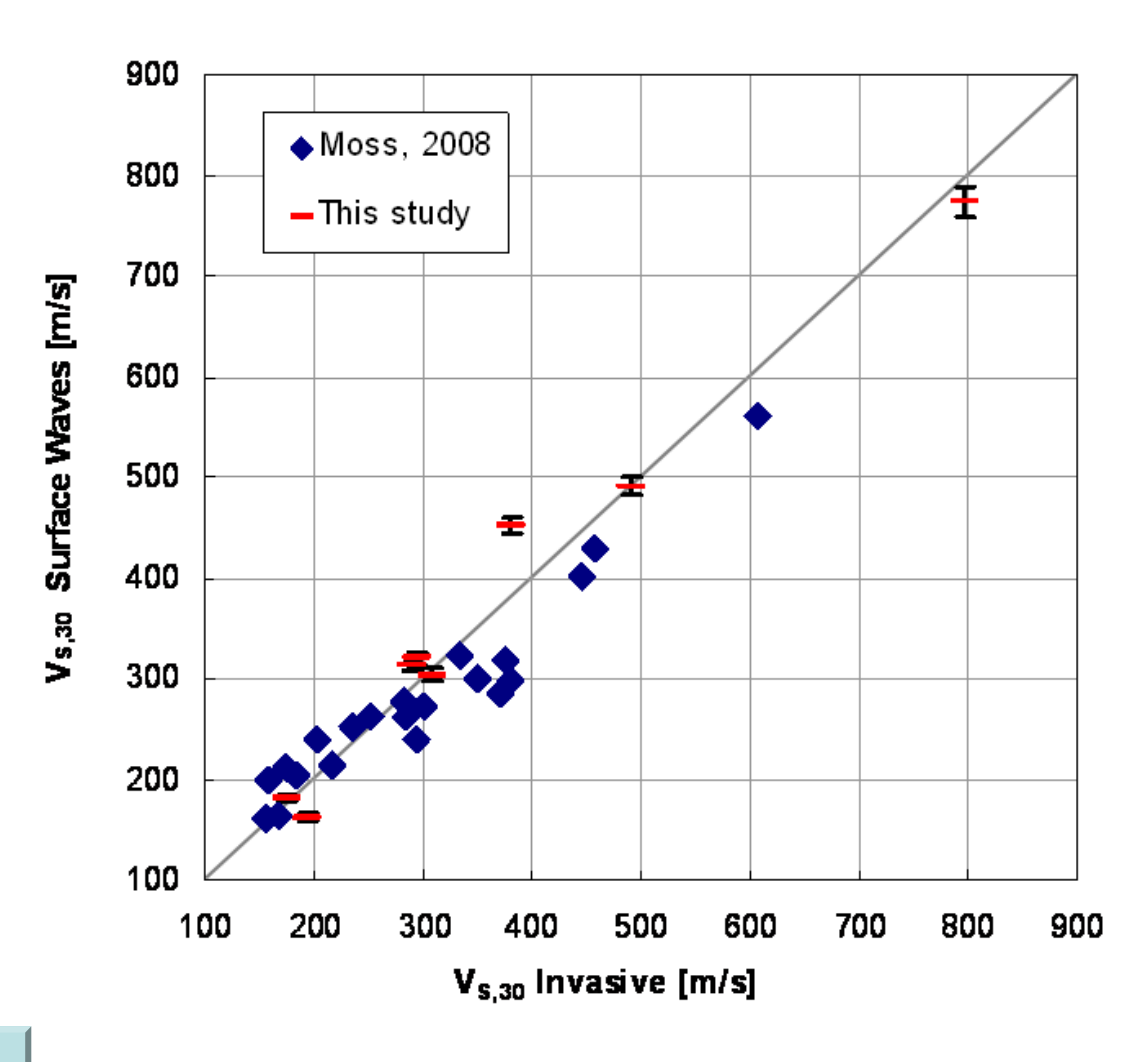
Profili Equivalenti



(Foti et al., 2007)



Accuratezza ed incertezza della stima di V_{S,30}

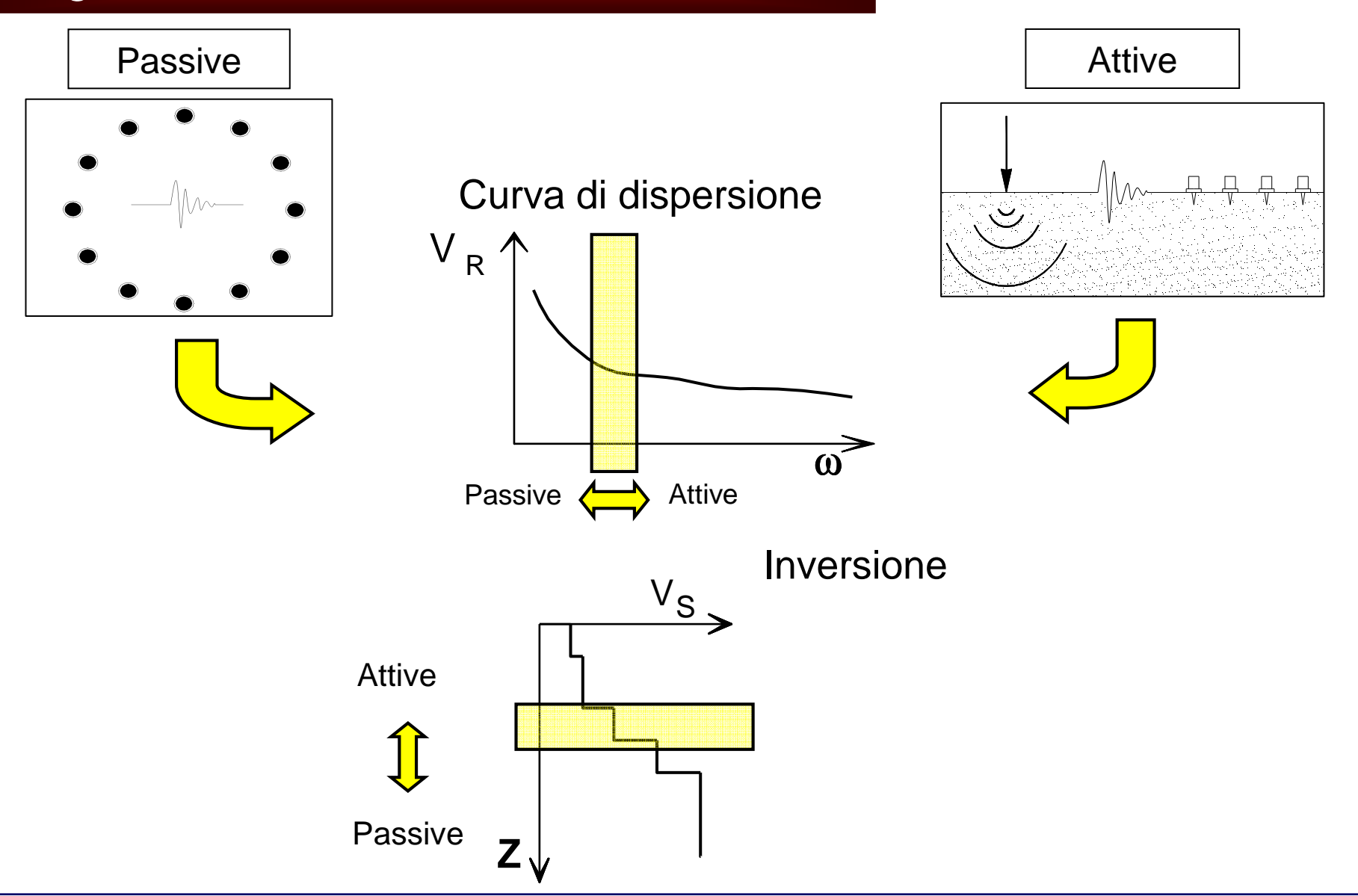


QC

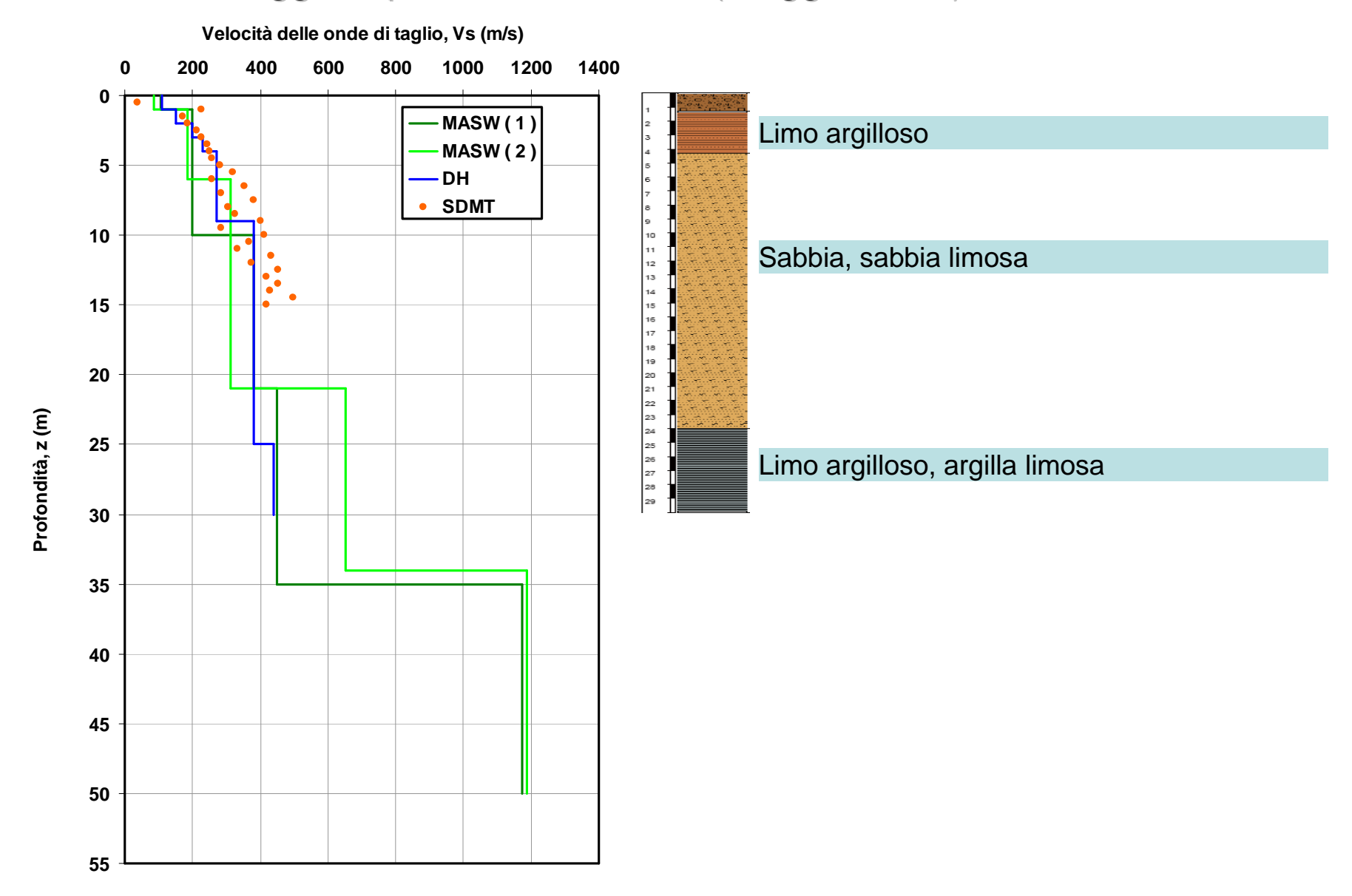
liq

(Comina et al., 2010)

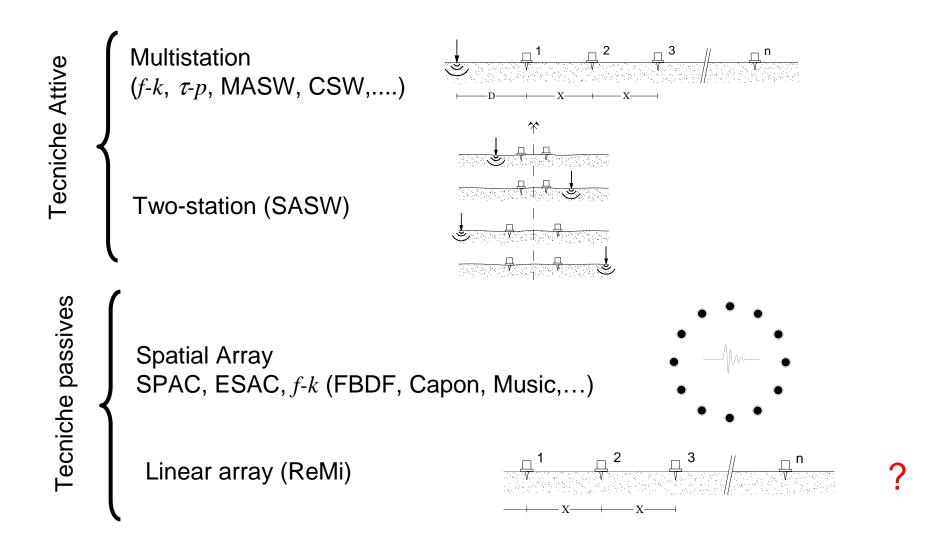
Integrazione Attive-Passive



PIANOLA – Sondaggio e prove DH - SDMT (maggio 2009)



Prove basate sulla propagazione di onde superficiali (SWM)



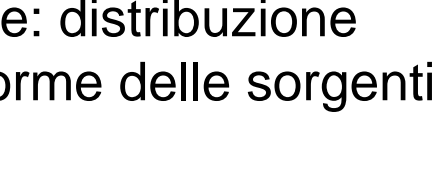
ReMi (Refraction Microtremors)

(Louie, 2001)

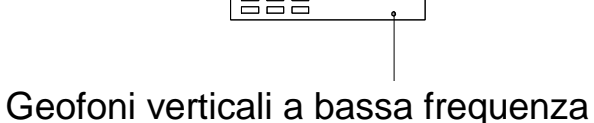
Prove Passive con ricevitori allineati

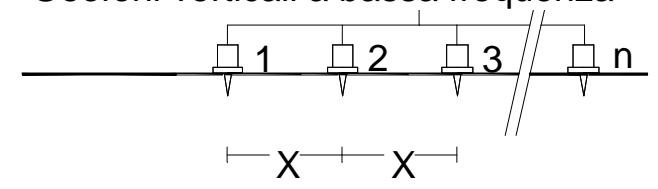
Ipotesi di base: distribuzione

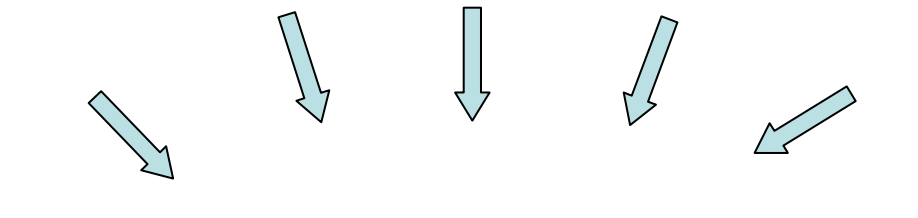
spaziale uniforme delle sorgenti di vibrazione













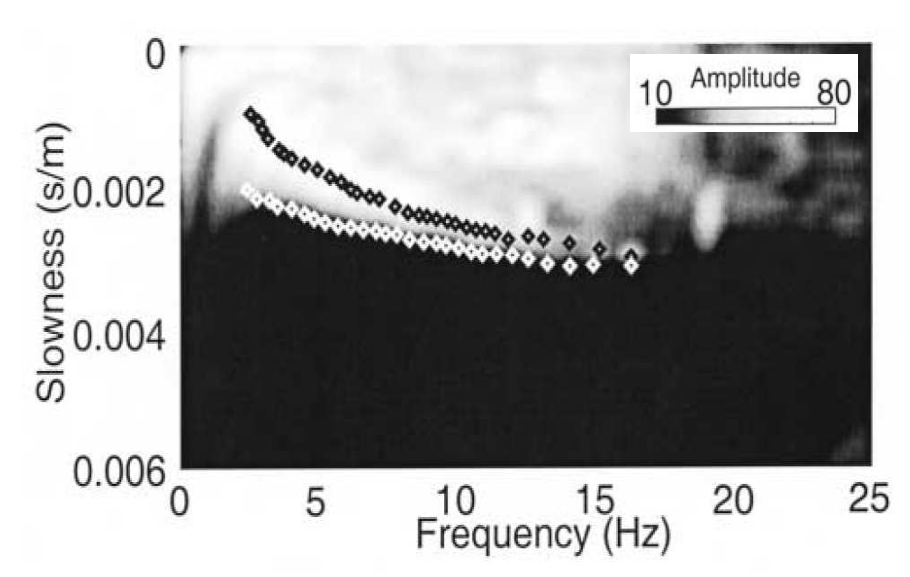










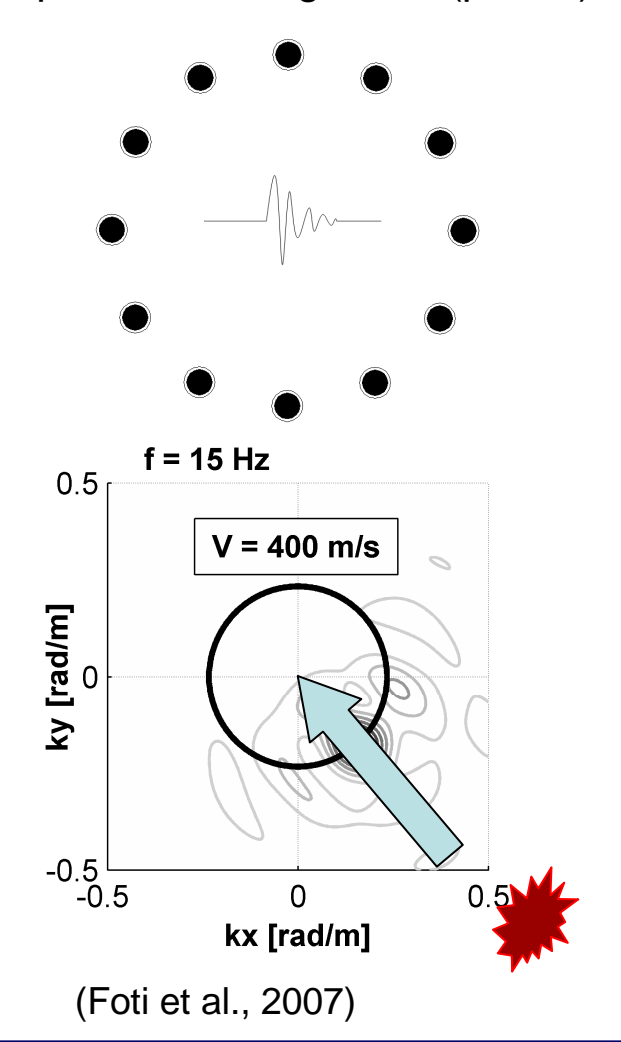


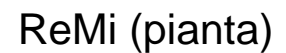
(Stephenson et al., 2005)

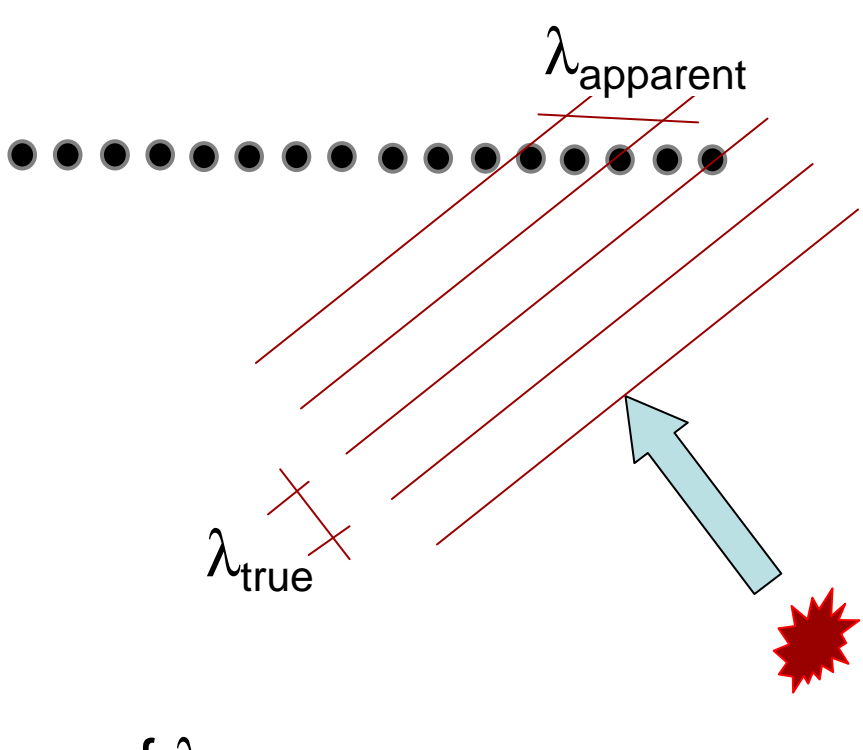
Prove Passive

Esempio: La Salle

Disposizione dei geofoni (pianta)

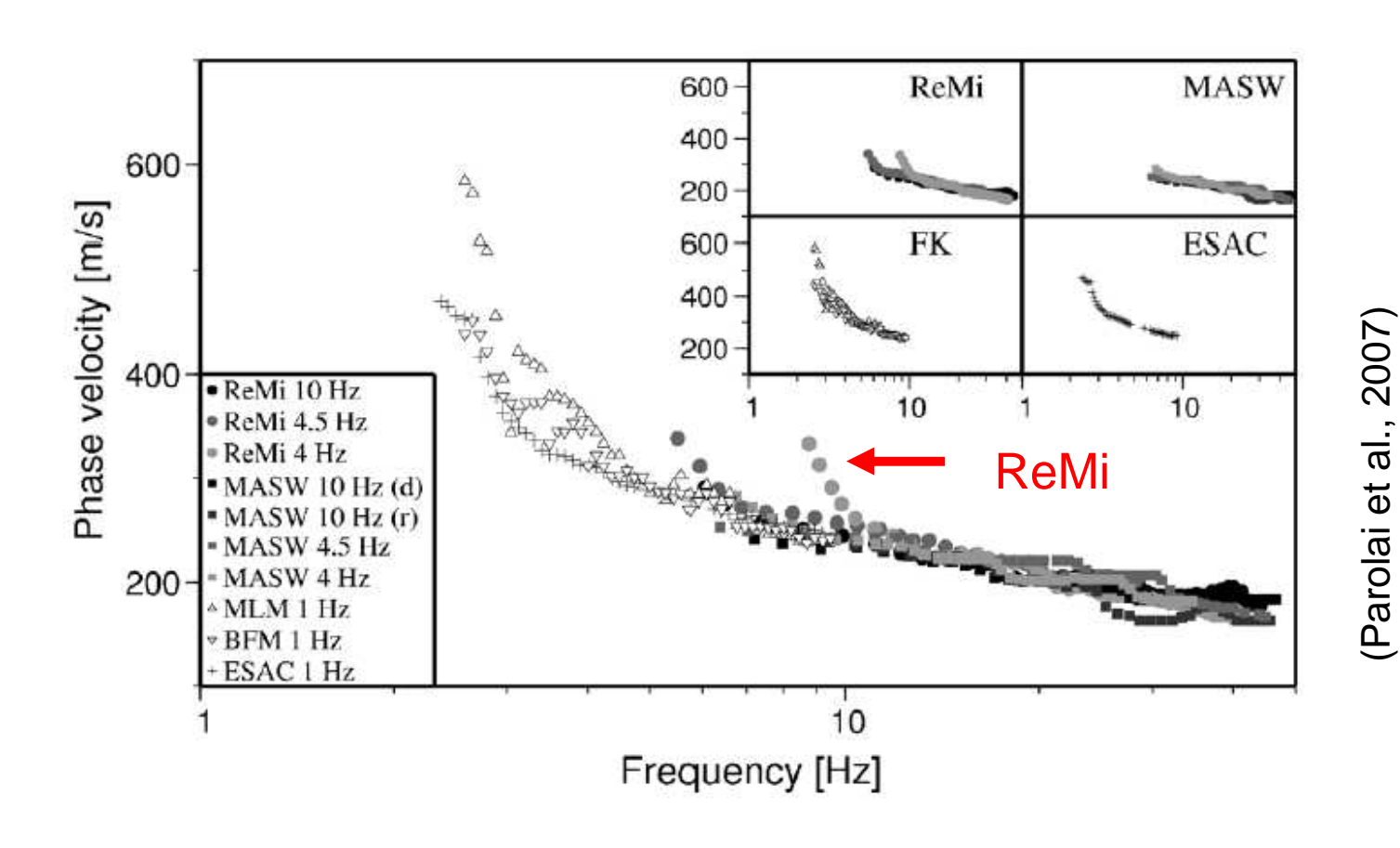






$$v=f-\lambda$$

Confronto Attive-Passive

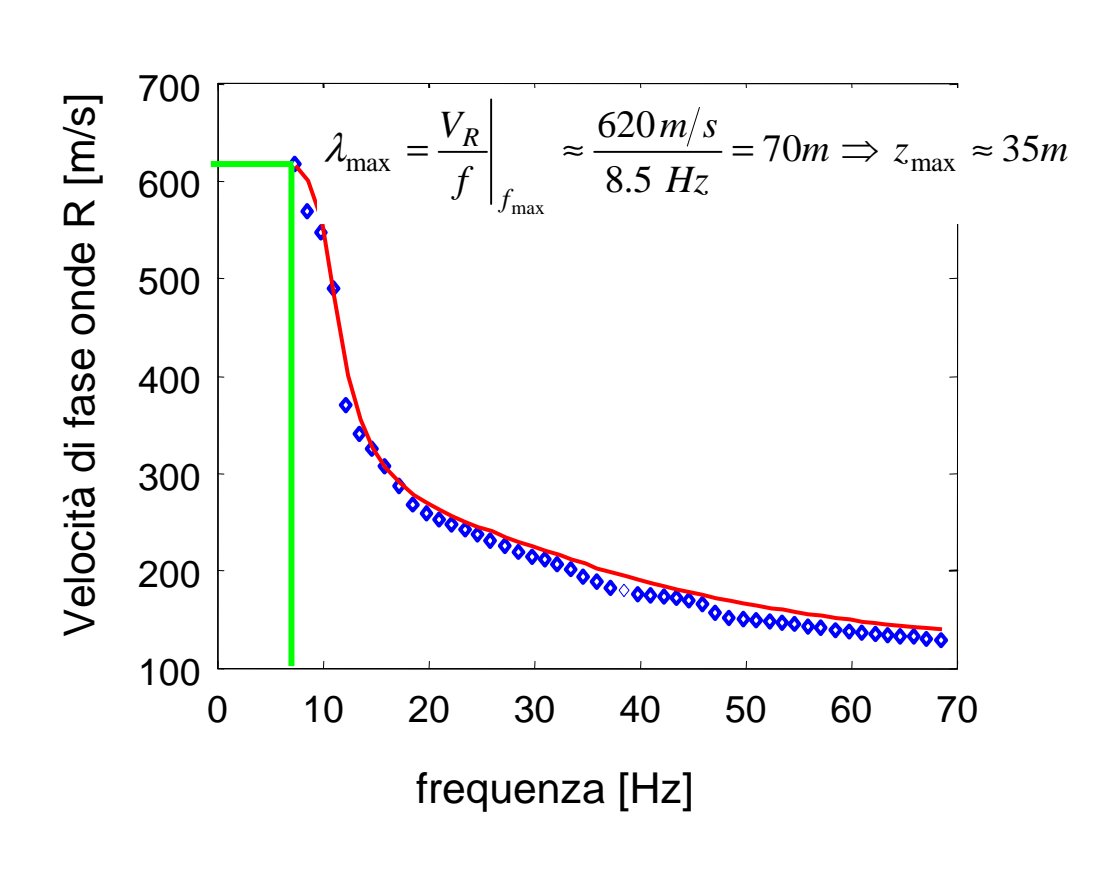


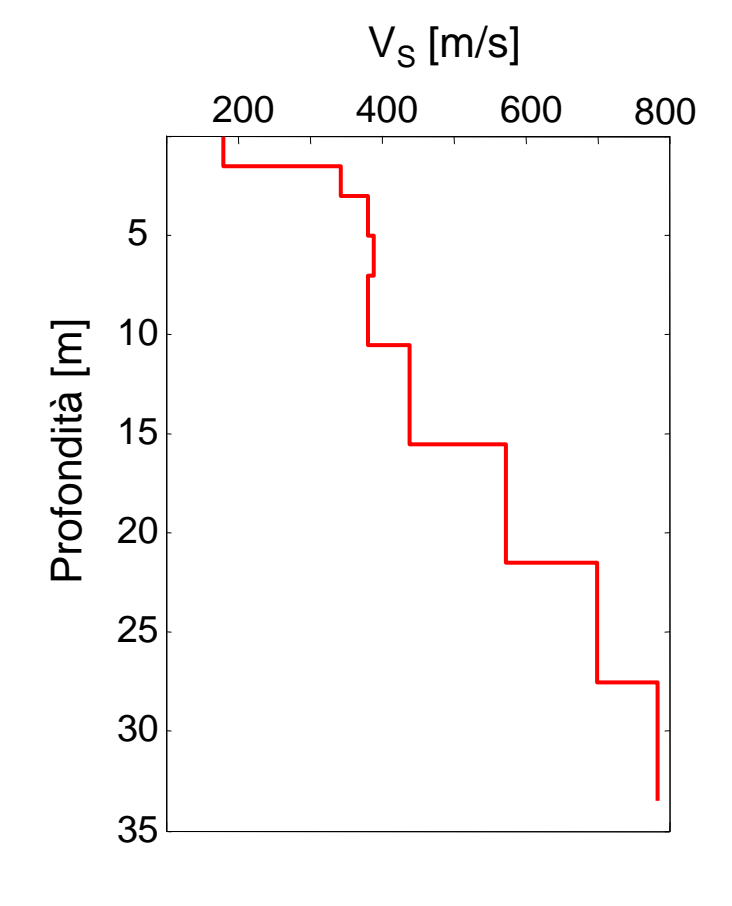
QC delle prove SWM

- Assenza marcate irregolarità topografiche e/o stratigrafiche
- Acquisizione
 - Preferire approcci multistation e array 2D per le passive
 - Frequenza naturale dei geofoni (max 4,5Hz)
 - Apertura totale-profondità (z_{max}≈½L_{stend})
 - Qualità registrazioni
- Processing
 - Verifica dato sperimentale (panel fk)
- Inversione
 - Metodo di inversione (automatico)
 - Congruenza curva dispersione numerica-sperimentale
 - Congruenza profondità raggiunta intervallo frequenze (z_{max} ≈½-1/3 λ_{max})
 - Modi superiori (se andamento irregolare)

Criteri di verifica delle prove SWM

- Corrispondenza curva dispersione numerica-sperimentale
- Congruenza profondità raggiunta range frequenze ($z_{max} \approx \frac{1}{2} \frac{1}{3} \lambda_{max}$)





liq

end

Liquefazione

- Sollecitazioni cicliche inducono, in condizioni drenate, riduzione di volume.
- La tendenza a ridurre il volume è più marcata nei terreni sciolti
- In condizioni non drenate, tale tendenza genera sovrappressioni interstiziali (u)
- Come conseguenza si riduce la resistenza al taglio, sino ad annullarsi in condizioni estreme $(u=\sigma)$

$$\tau_f = \sigma' \tan \phi' = (\sigma - u) \tan \phi'$$



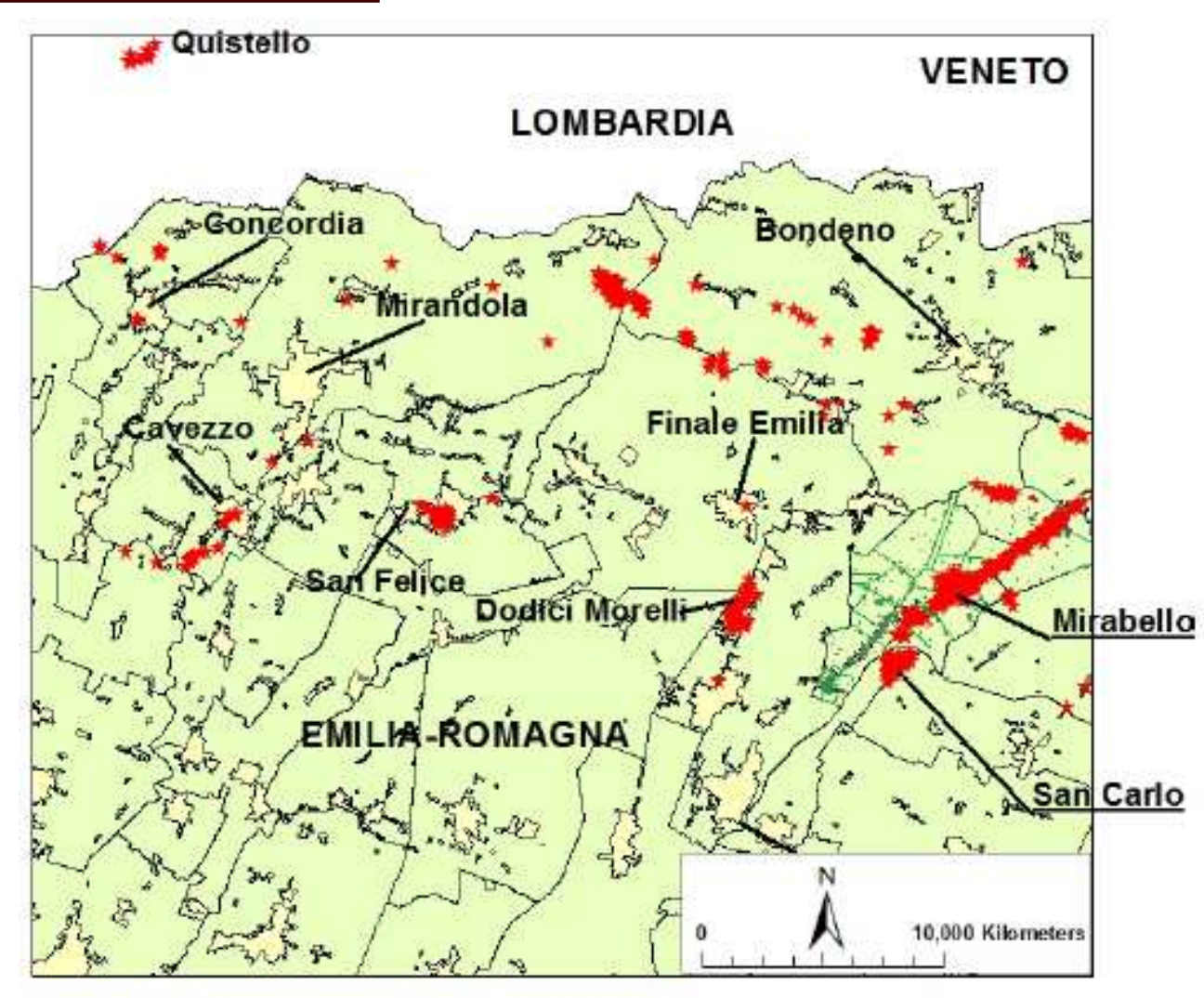


NB: Nel caso di sisma le condizioni sono praticamente sempre non drenate anche per terreni a grana grossa

Terremoto Emiliano del 2012

Il terremoto che ha colpito la pianura padana-emiliana il 20 maggio 2012 ha prodotto diffusi ed estesi fenomeni di liquefazione

Localizzazione dei casi di liquefazione osservati



(Cortesia prof. G. Vannucchi – UniFI)

Manifestazioni di liquefazione osservate in Emilia



Foto: cortesia prof. G. Vannucchi UniFl

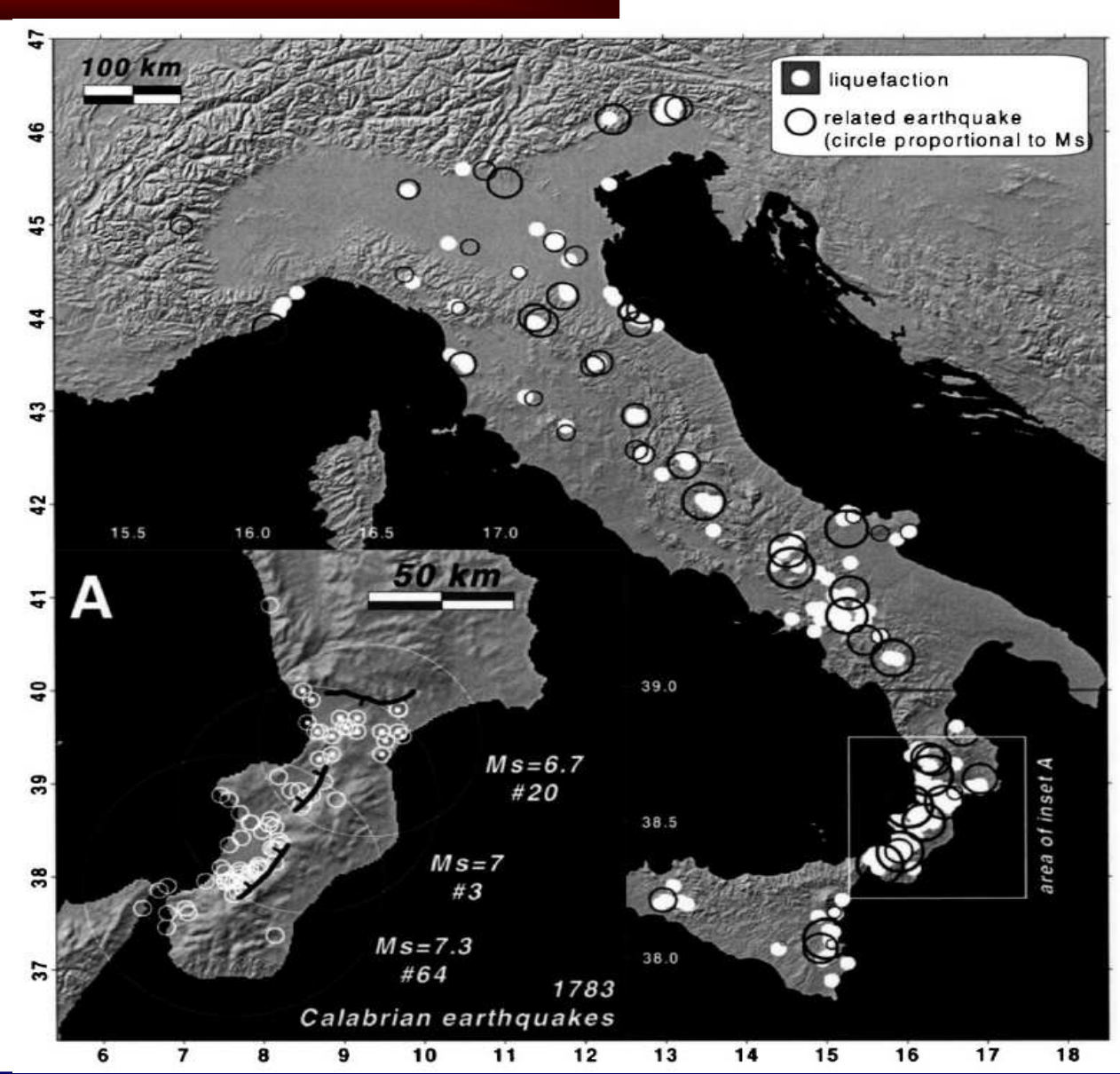
Composizione granulometrica terreni liquefacibili

Principalmente sabbie, talvolta limi non plastici e ghiaie confinate Granulometria uniforme e la presenza di particelle arrotondate portano ad una struttura del terreno che massimizza i vuoti interstiziali

Criteri Cinesi (terreni liquefacibili se tutti soddisfatti):

- frazione di materiale fine con particelle di diametro d ≤ 0.005 mm minore del 15%
- limite liquido LL ≤ 35%
- contenuto d'acqua naturale ≥ 0.9 LL
- indice di liquidità ≤ 0.75

La liquefazione in Italia



(Galli, 2000)

NTC2008

verifica liquefazione: motivi di esclusione (or)

- Magnitudo attesa M < 5
- accelerazione di picco al suolo di progetto $Sa_g < 0.1 g$
- profondità falda dal p.c. z_w > 15m
- criterio granulometrico (fuso terreni liquefacibili)
- per sabbie pulite

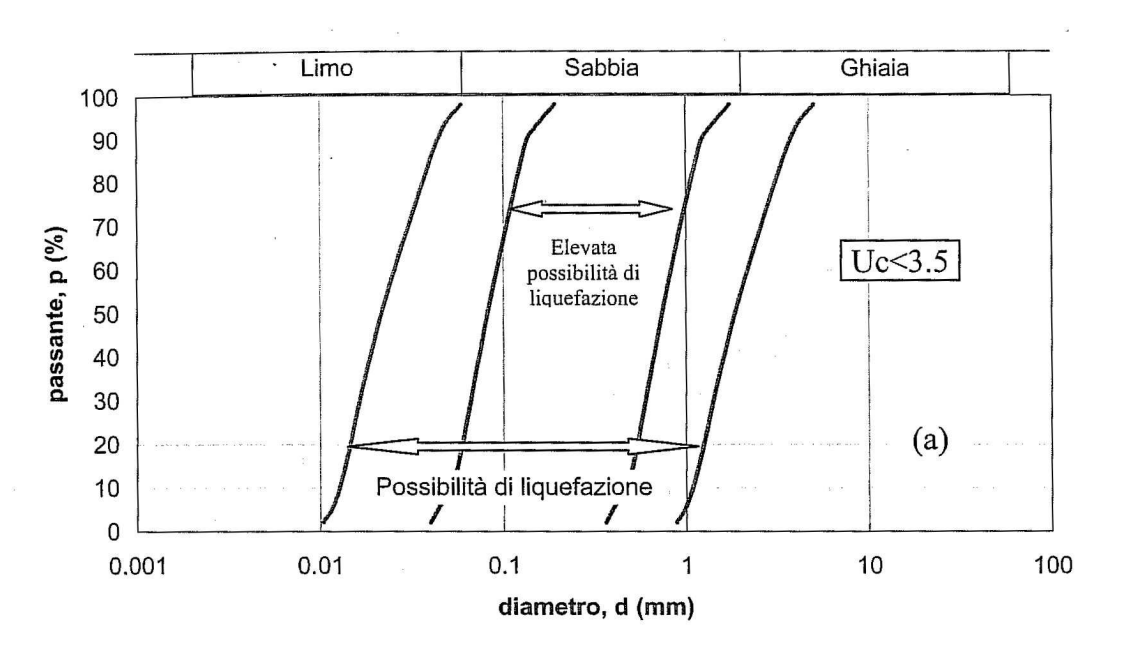
SPT
$$(N_1)_{60} > 30$$

CPT $q_{c1N} > 180$

Valori normalizzati per
$$\sigma'_{v} = 100 \text{ kPa}$$

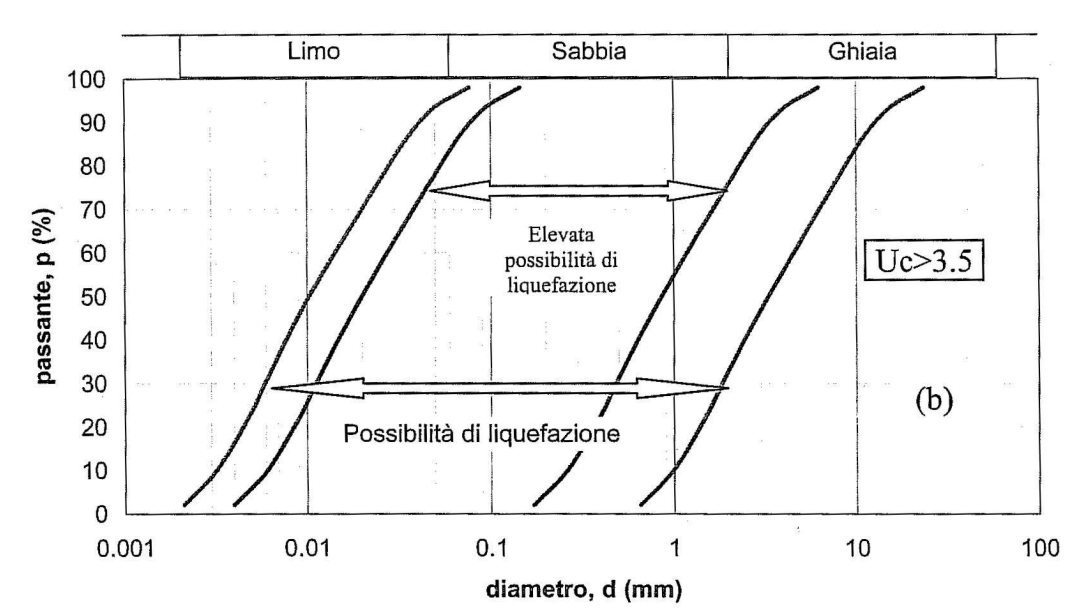
Criteri granulometrici

Terreni a granulometria uniforme



Terreni a granulometria poco uniforme

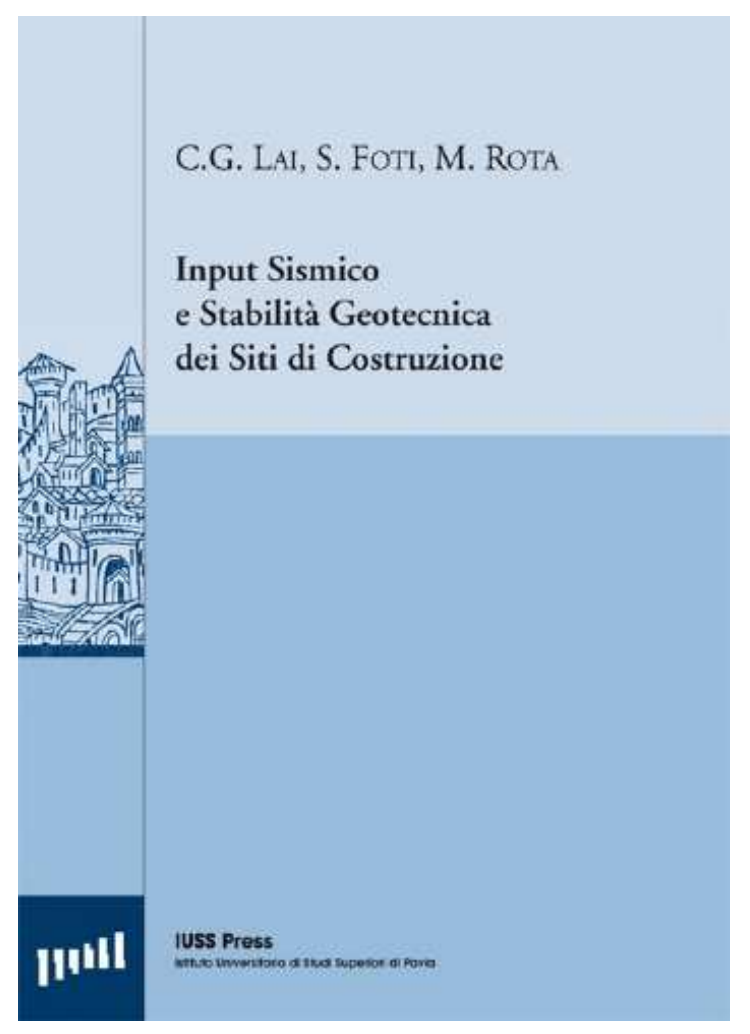
$$Uc = d_{60}/d_{10}$$



Indagini

- Profilo stratigrafico
- Profondità di falda (con variazioni stagionali)
- Distribuzione granulometrica
- Prove penetrometriche (SPT-CPT)

Per approfondimenti:





Grazie per l'attenzione

La presentazione è disponibile su:

www.soilmech.polito.it/download